

## รายงานฉบับสมบูรณ์

(1 ธันวาคม 2537-30 พฤศจิกายน 2540)

ผลของขั้นออกไซด์บนหน้าผสกน (100) ของเพชรค่าคุณภาพของพิล์มนบางของเพชร  
ที่เตรียมโดยวิธีอิพิแทกซ์สภาวะไอ

ผศ.ดร. วิทยา อัมรกิจบำรุง

ภาควิชาฟิสิกส์ คณะวิทยาศาสตร์ มหาวิทยาลัยขอนแก่น

## รายงานฉบับสมบูรณ์

(1 ธันวาคม 2537-30 พฤศจิกายน 2540)

ผลของขั้นออกไซค์บนหน้าผดีก (100) ของเพชรคือคุณภาพของไฟล์มบางของเพชร

ที่เตรียมโดยวิธีอีพีแทกซ์สภาวะไอ

ผศ.ดร. วิทยา ออมรกิจบำรุง

ภาควิชาฟิสิกส์ คณะวิทยาศาสตร์ มหาวิทยาลัยขอนแก่น

## บทคัดย่อ

งานวิจัยนี้ได้พัฒนาระบบการเติร์บินฟิล์มน้ำของเพชรจนสามารถใช้งานได้อย่างมีประสิทธิภาพ คือ เติร์บินได้ทั้งวิธี HF-CVD และ AC-CVD หรือเป็นวิธี Hybrid คือทำทั้งสองวิธีพร้อม ๆ กัน เป็นระบบที่สามารถตรวจสอบ partial pressure ของแก๊สผสม เช่น CH<sub>4</sub>, H<sub>2</sub>, และ O<sub>2</sub> อีกทั้งเปลี่ยนสารตัวอย่างอันใหม่ได้ โดยที่ไม่ต้องหยุดเดินเครื่องทำสัญญาณ เพราะมี load-lock system นอกจากนี้ขั้นสามารถดูดอุณหภูมิของ hot filament, substrate ได้จากภายนอกด้วย optical pyrometer ทำให้มีโอกาสเปลี่ยน ตัวแปรต่างๆ ได้กว้าง ขึ้นทั้งอุณหภูมิ, ความดัน, อัตราการไหลของแก๊ส, ส่วนผสมของแก๊ส ทำให้การเติร์บินฟิล์มน้ำของเพชรมี โอกาสทำซ้ำ (reproducible) ได้ในอนาคต และได้ทดสอบระบบการเติร์บินฟิล์มน้ำของเพชรโดยใช้สารตัว อย่างจำนวน 31 ตัวอย่าง พนว่าการเกิดฟิล์มน้ำของเพชรบนแผ่นเพชร โดยวิธีอิพิเทกซ์สภาวะไอ (vapour phase epitaxy : VPE) ขึ้นกับปริมาณชั้นออกไซด์ที่เหลืออยู่ และวิธีการกำจัดชั้นออกไซด์ แต่เนื่องจาก จำนวนตัวอย่างที่ใช้ขังน้อยจึงขังไม่พบร่องไวที่เหมาะสมสำหรับการเกิดอิพิเทกซ์ข่างสมบูรณ์ จะต้องใช้ สารตัวอย่างมากกว่านี้เพื่อเปลี่ยนตัวแปรให้ถูกเรื่อยๆ จนพบร่องไวที่เหมาะสมสำหรับการเกิดอิพิเทกซ์ อย่างสมบูรณ์

### Abstract

In this study a system for the efficient production of diamond thin film was produced. Films could be produced both by Hot Filament Chemical Vapour Deposition (HF-CVD) and Alternating Current Assisted Chemical Vapour Deposition (AC-CVD), or by a hybrid of two methods at the same time. It is a system which can measure the partial pressure of mixed gases, such as methane, hydrogen and oxygen. The sample can be also be changed without losing the vacuum because it is incorporates a load-lock system. Apart from this, the temperature of the hot-filament and the substrate can be measured externally using an optical pyrometer. This allows greater possible variation of parameters- temperature, pressure, ratio of gas flows and constitution of gas mixture. This will allow the production of thin films of diamond repeatably in the future and 31 samples of diamond thin film have been prepared throughout the project. It has been found that the production of diamond thin film on diamond substrate by Vapour Phase Epitaxy (VPE) depends on the amount of oxide layer and the method of removing the oxide layer. However, since the number of samples is small, the optimal parameters for perfect epitaxy have not yet been found. More samples need to be prepared in order to more finely tune the parameters which are involved to find the optimum set of parameters.

## กิติกรรมประจำ

งานวิจัยนี้ผู้ดำเนินการวิจัยได้รับทุนพัฒนานักวิจัย (เมธีวิจัย สกว.) จากสำนักงานกองทุนสนับสนุนการวิจัย ตามสัญญาเลขที่ RSA/20/2537 ระหว่างวันที่ 1 ธันวาคม 2537 - วันที่ 30 พฤศจิกายน 2540 และเงินสมทบจากมหาวิทยาลัยขอนแก่น ผู้ดำเนินการวิจัยขออนุญาตแหล่งเงินทุนวิจัยทั้ง 2 แหล่งเป็นอย่างสูง

นอกจากนี้ยังได้รับความอนุเคราะห์ให้ใช้เครื่อง X-ray Photoelectron Spectrometer (XPS)

ที่ภาควิชาเคมีโลหการ คณะวิศวกรรมศาสตร์ จุฬาลงกรณ์มหาวิทยาลัย โดยได้รับความช่วยเหลือจากนักศึกษาปริญญาโท คือนายจรัล ทรัพย์เสรี ในการวิเคราะห์ด้วยเทคนิค XPS ตลอดงานวิจัย

ขอขอบคุณย์โลหะและวัสดุแห่งชาติ (MTEC) ที่ให้ความอนุเคราะห์วิเคราะห์สารตัวอย่างด้วย Field Emission Scanning Electron Microscope (FE-SEM) โดย ดร.บัญชา ชนนบุญสมบัติ และนายอภิชาด เหล็กงาม และวิเคราะห์สารตัวอย่างด้วย Laser Raman Microprobe Spectrometer โดย ดร.ศรัณย์ โปษยันดา และนายชิตสกนธิ์ กักดีเจ่นไส

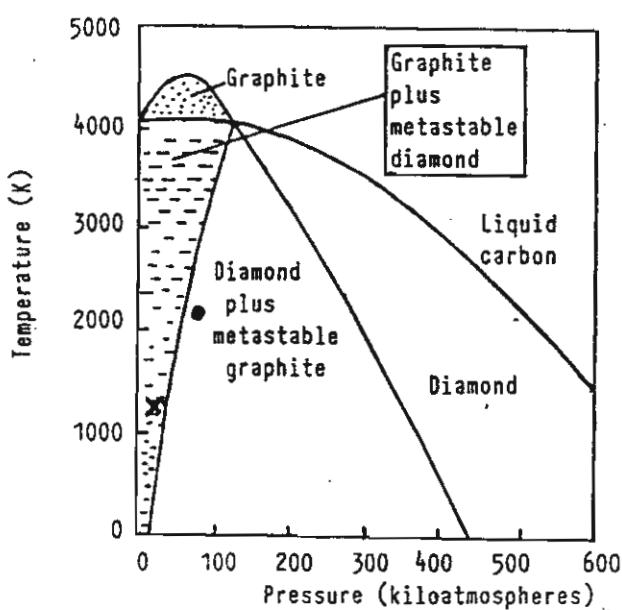
และขอขอบคุณนักศึกษาปริญญาตรีฟิสิกส์ ชั้นปีที่ 4 ปีการศึกษา 2539 ที่ได้ร่วมงานวิจัยนี้โดยเป็นส่วนหนึ่งของการเรียนวิชา โครงการพิเศษ 1 และ 2 คือนางสาวองค์อร ตอบดล, นางสาวปาริฉัตร ใจปัคนา, นางสาวหาญกาญจน์ ใจแสงจันทร์, นางสาวอรสุชา เสียงล้ำ และนางสาววัชราภรณ์ สีทัน เป็นกลุ่มผู้ที่มีส่วนช่วยในการ handle แผ่นเพชรที่มีขนาดเล็กมาก ได้สำเร็จ

## สารบัญ

	หน้า
<b>บทคัดย่อภาษาไทย</b>	ii
<b>บทคัดย่อภาษาอังกฤษ</b>	ii
<b>กิติกรรมประกาศ</b>	iii
<b>บทนำ</b>	1
<b>บทที่ 1 การพัฒนาระบบสัญญาการ</b>	4
<b>บทที่ 2 การตรวจหาชั้นออกไซด์บนผิวเพชร</b>	7
<b>บทที่ 3 การเตรียมอีพิแทกซ์สภาพไวของเพชร</b>	12
<b>บทที่ 4 การตรวจสอบคุณสมบัติฟิล์มบางของเพชร</b>	19
<b>สรุปและวิจารณ์ผล</b>	25
<b>บรรณานุกรม</b>	29
<b>ภาคผนวก</b>	30

## บทนำ

การ์บอนมีโครงสร้างผลึกหลัก 2 แบบคือ hexagonal เรียกว่า grafit และ face-centered cubic ที่มีอะตอมที่ตำแหน่ง  $(\frac{1}{4} \frac{1}{4} \frac{1}{4}), (\frac{1}{4} \frac{3}{4} \frac{3}{4}), (\frac{3}{4} \frac{1}{4} \frac{3}{4}), (\frac{3}{4} \frac{3}{4} \frac{1}{4})$  ซึ่งเป็นโครงสร้างแบบเพชร (diamond structure) จึงเรียกว่าเพชร (diamond) ตามไกด์แกรมสถานะของคาร์บอนที่ขึ้นกับความดันและอุณหภูมิ (pressure-temperature phase diagram of carbon) ในรูปที่ 1 ที่ตำแหน่ง (\*) เป็นบริเวณที่การ์บอนอยู่ในสภาวะเพชรเสถียร (stable diamond) ร่วมกับ grafit กึ่งเสถียร (metastable graphite) มีค่าความดันประมาณ  $5.5 \times 10^3$  เท่าของบรรยายกาศ และอุณหภูมิประมาณ  $2300^\circ K$  ซึ่งเป็นช่วงค่าความดันและอุณหภูมิสูงมาก การสังเคราะห์เพชรโดยการเปลี่ยนสถานะจาก grafit เป็นเพชรในช่วงค่าความดันและอุณหภูมิแบบนี้จึงเรียกว่า การสังเคราะห์เพชรด้วยเทคนิคความดันสูงและอุณหภูมิสูง (high pressure and high temperature diamond synthesis) ประสบผลสำเร็จครั้งแรกเมื่อ ค.ศ. 1955 โดยนักวิจัยของบริษัทบีเอช ประเทศไทย สหรัฐอเมริกา



รูปที่ 1 ไกด์แกรมสถานะของคาร์บอนที่ขึ้นกับความดันและอุณหภูมิ

ในรูปที่ 1 ที่ต่ำเห็น (X) เป็นบริเวณที่คาร์บอนอยู่ในสภาพแกรไฟท์เสถียร (stable graphite) ร่วมกับ เพชร กึ่งเสถียร (metastable diamond) เป็นบริเวณที่มีค่าความดันน้อยกว่า 1 บรรยากาศ และอุณหภูมิประมาณ  $1300^{\circ}\text{K}$  ดังนั้นการสังเคราะห์เพชรในช่วงความดันที่ต่ำกว่า 1 บรรยากาศ จึงเป็นการเปลี่ยนสถานะของ คาร์บอนในสภาพไอให้เป็นเพชร จึงต้องอาศัย seed เพื่อให้คาร์บอนมาเกิดการรับอนุมิโครงสร้างแบบ เพชร โดยที่ seed จะต้องมีโครงสร้างคล้ายๆ เพชร เช่น ซิลิกอน, ซิลิกอนคาร์ไบด์ หรือ เพชร การสังเคราะห์ เพชรวิธีนี้เรียกว่า เทคนิคความดันต่ำ (low pressure synthesis) ซึ่งประสบผลสำเร็จครั้งแรกเมื่อ ศ. ค. 1956 โดยนักวิจัยของสถาบันฟิสิกส์เคมี (Institute of Physical Chemistry)<sup>2</sup> ประเทศรัสเซีย การสังเคราะห์เพชรที่ ต้องใช้ seed เรียกว่า อิพิแทกซ์ (epitaxy)

การเตรียมฟิล์มบาง (thin film) แบบอิพิแทกซ์ (epitaxy) เป็นการเตรียมฟิล์มบางบนแผ่นรองรับ (substrate) ให้ได้โครงสร้างผลึก (crystal structure) เมม่อนกันคือ มีการเรียงตัวอะตอมของสารฟิล์มบางต่อ ขึ้นบนแผ่นรองรับซึ่งคือกันด้วยพันธะเคมี (chemical bonding) ถ้าสารฟิล์มบางและสารแผ่นรองรับ เป็นสาร เดียวกัน เรียกว่า homoepitaxy แต่ถ้าเป็นสารต่างชนิดกันเรียกว่า heteroepitaxy การเกิดอิพิแทกซ์ฟิล์มบาง (epitaxial thin film) เกิดขึ้นได้จากการเปลี่ยนสถานะของสาร ถ้าเกิดจากการเปลี่ยนสถานะจากของเหลว เรียกว่า liquid phase epitaxy ถ้าเกิดจากการเปลี่ยนสถานะแก๊ส, ไอ เรียกว่า อิพิแทกซ์สภาพไอ (vapour phase epitaxy) ถ้าเกิดจากคำโน้มเลกุล (molecular beam) เรียกว่า อิพิแทกซ์คำโน้มเลกุล (molecular beam epitaxy)

เพื่อให้ได้ฟิล์มเพชรที่ดีกว่าแผ่นเพชรที่รองรับ สามารถนำไปวิจัยและพัฒนาต่อไปในการนำไปใช้ ประโยชน์เป็น semiconducting devices ให้ได้นั้น จะต้องได้ฟิล์มเพชรบนแผ่นเพชรที่มีการเกิดแบบ homoepitaxial dimond thin film ที่มีความสมบูรณ์ และสม่ำเสมอต่อต้องทั่วทั้งแผ่น ซึ่งในการเตรียมเพื่อให้ได้ ฟิล์มเพชรบนแผ่นเพชรดังกล่าว นั้น จะประสบปัญหาในการเตรียมผิวเพชร (surface treatment) ซึ่งประกอบด้วยกระบวนการทำความสะอาดแผ่นเพชรที่รองรับก่อนที่จะนำเข้าไปอยู่ในระบบการเตรียมฟิล์มบางของ เพชร (diamond thin film) ที่มีขั้นตอนการล้างสารประเภทไขมันที่อาจจะเกิดจากกระบวนการทำ cutting และ polishing จากโรงงานผลิตด้วย acetone, methanol, น้ำสะอาดมาก ( $18 \text{ megaohm}\cdot\text{cm}$ , resistivity) ตามด้วย การกัด (etching) ด้วยกรดสมรรถว่าง  $\text{H}_2\text{SO}_4$  และ  $\text{HNO}_3$  เพื่อกำจัดสิ่งสกปรกที่เป็นกราไฟท์และโลหะต่างๆ แล้วล้างด้วยน้ำสะอาดมาก

แม้ว่าจะเตรียมผิวเพชรให้สะอาดก่อนนำเข้าไปอยู่ในระบบการเตรียมฟิล์มบางของเพชรแล้ว แต่ผิว เพชรยังปักคุณ (covered) ด้วยชั้นออกไซด์ (oxide layer) ออยู่<sup>3</sup> ดังนั้นจึงต้องมีการทำจัดชั้นออกไซด์ขึ้นเพื่อ เพชรอยู่ในระบบการเตรียมฟิล์มบางของเพชร ซึ่งทำกันหลายวิธีได้วิธีที่นิยมใช่มี 4 วิธี คือ 1) การใช้รังสี ความร้อนจากไส้ทังสเตนร้อน(hot tungsten filament) 2) การใช้รังสีความร้อนจากເລເຊອຣ์ かるบอนไคออกไซด์ 3) การใช้ความร้อนจากแผ่นให้ความร้อน (heater plate) 4) การกัดด้วยอิโอนอาร์กอน

(argon ion etching) ซึ่ง สองวิธีแรกเป็นการให้ความร้อนจากผิวด้านหน้าของแผ่นเพชรเพื่อกำจัดชั้นออกไซด์ แต่ เนื่องจากเพชรนำความร้อนได้ดีจึงต้องใช้ความร้อนที่มากพอจึงจะกำจัดชั้นออกไซด์ได้ วิธีให้ความร้อนจากแผ่นให้ความร้อนเป็นการทำให้ผิวเพชรร้อนจากด้านหลัง แล้วกระเจยมาที่ผิวด้านหน้าในการกำจัดชั้นออกไซด์ ซึ่งต้องหลีกเลี่ยงการระบกวนจากสิ่งเปลกปลอมอื่น ๆ ที่เป็นส่วนประกอบของแผ่นให้ความร้อนสำหรับวิธีการกำจัดชั้นออกไซด์ด้วยการกัดด้วยอิオンอาร์กอน เป็นการกัดด้วยการถ่ายเทโนเมนตัม (momentum transfer) ซึ่งมีข้อดี คือไม่ทำให้ผิวเพชรร้อนมาก จึงเป็นวิธีที่ใช้มากในการศึกษาผิวของสารด้วย Auger Electron และ X-ray Photoelectron

ในการเตรียมฟิล์มบางของเพชรผู้วิจัยได้ใช้วิธีการกัดด้วยอิออนอาร์กอนมาใช้กับการกำจัดชั้นออกไซด์บนผิวเพชร ซึ่งเป็นวิธีกำจัดชั้นออกไซด์ที่มีความร้อนเกิดขึ้นน้อยโดยไม่ทำให้ผิวเพชรร้อนมาก ถึงแม้จะร้อนบ้างก็เป็นการร้อนเฉพาะผิวด้านหน้าเท่านั้น ซึ่งน่าจะเป็นผลดีถ้าเกิดขึ้นได้ในขณะเตรียมฟิล์มบางของเพชรด้วยเทคนิค AC-Assisted Chemical Vapour Deposition (AC-CVD) เปรียบเทียบกับวิธีการกำจัดชั้นออกไซด์แบบไส้ทั้งสตีนร้อน ซึ่งเป็นวิธีที่นิยมใช้มากในการเตรียมฟิล์มบางของเพชรด้วยเทคนิค Hot Tungsten Filament Chemical Vapour Deposition (HF-CVD)

### ซึ่งในการวิจัยดังกล่าวผู้วิจัยได้ดำเนินงานดังนี้

- 1) การพัฒนาระบบสุญญากาศสำหรับงานวิจัย metal evaporation ทั่ว ๆ ไปเป็นระบบการเตรียมฟิล์มเพชรแบบ AC-CVD และแบบ HF-CVD
- 2) การตรวจหาชั้นออกไซด์บนผิวเพชรและระหว่างฟิล์มบางของเพชรและแผ่นเพชรด้วยวิธี X-Ray Photoelectron Spectroscopy (XPS)
- 3) การเตรียมฟิล์มบางของเพชรแบบ VPE ด้วยเทคนิค HF-CVD และ AC-CVD บนแผ่นซิลิโคน เพื่อทดสอบระบบการเตรียมฟิล์มบางของเพชร และบนแผ่นเพชรที่มีการกำจัดชั้นออกไซด์ด้วยการใช้รังสีความร้อนจากไส้ทั้งสตีนร้อน และการกัดด้วยอิออนอาร์กอน
- 4) การตรวจสอบคุณสมบัติฟิล์มบางของเพชรด้วย Field Emission Scanning Electron Microscope (FE-SEM), X-Ray Diffractometer (XRD), X-Ray Diffraction Topography (XDT), Laser Raman Micro-Probe Spectroscopy

ซึ่งรายละเอียดจะได้กล่าวในแต่ละบทต่อไป

## บทที่ 1

### การพัฒนาระบบสุญญากาศ

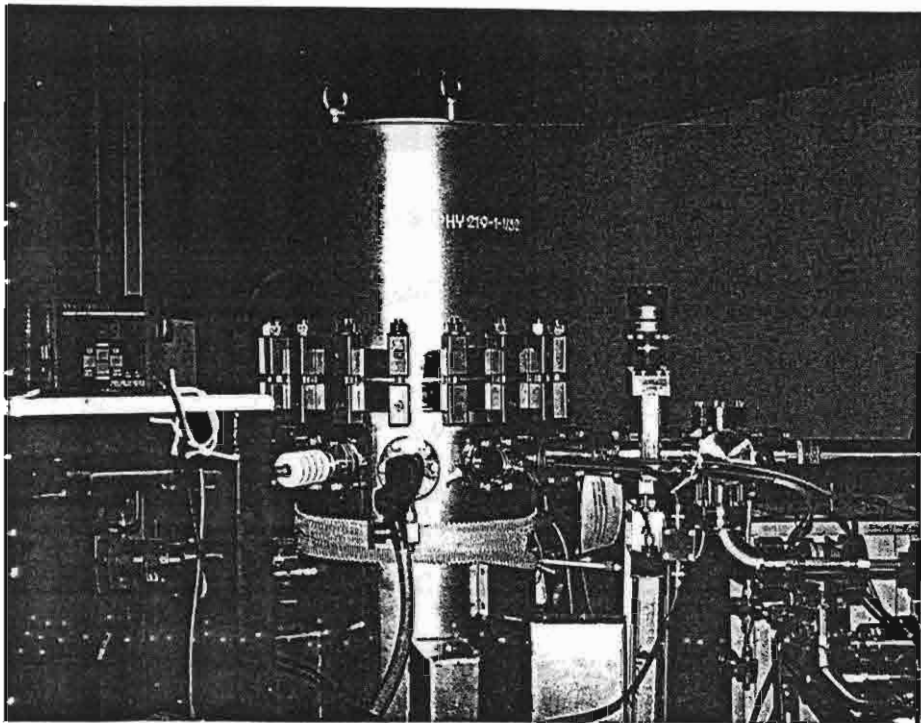
เนื่องจาก การเตรียมฟิล์มบางของเพชรยังอยู่ในขั้นตอนของการวิจัยในห้องปฏิบัติการวิจัยเป็นส่วนใหญ่ ความต้องการระบบการเตรียมฟิล์มบางของเพชรของแต่ละกลุ่มวิจัยจึงแตกต่างกันขึ้นอยู่กับประสบการณ์ในการวิจัย และความเชื่อมั่น ถึงแม้มีการผลิตระบบการเตรียมฟิล์มบางของเพชรออกจำหน่าย ข้าง แต่ราคาแพงมาก เช่น ระบบการเตรียมฟิล์มบางของเพชร โดยเทคนิค microwave plasma assisted chemical vapour deposition (MPA-CVD)<sup>4</sup> ที่ได้รับการยอมรับว่าอัตราการ deposition 5 micron /ชั่วโมง แต่ระบบดังกล่าวมีราคาประมาณ 10 ล้านบาท และได้ฟิล์มบางของเพชรแบบ polycrystalline หรือ prefered-oriented epitaxial ทั้ง heteroepitaxial และ homoepitaxial ฟิล์มบางของเพชรที่เตรียมได้จึงบางไม่สมบูรณ์และสมบูรณ์完美( perfect and homogeneous)

เพื่อให้ได้ฟิล์มบางของเพชรที่สมบูรณ์และสมบูรณ์完美 เป็นวัตถุประสงค์ของงานวิจัยนี้ ผู้วิจัยได้พัฒนาระบบการเตรียมฟิล์มบางของเพชรขึ้นเอง จากระบบ metal evaporation ที่มีอยู่เดิมแต่มีความสามารถ ทำสุญญากาศได้ต่ำสุดประมาณ  $10^{-6}$  millibar ซึ่งเป็นความดันต่ำสุด (ultimate pressure) หรือความดัน พื้นฐาน (base pressure) ของระบบสุญญากาศที่ใช้เตรียมฟิล์มบางของโลหะโดยวิธีระเหย ทั่วๆไป ที่ระดับ ความดัน  $10^{-6}$  millibar อุณหภูมิ  $300^{\circ}\text{K}$  ผิวสัมผัสถูกปกคลุมด้วยออกไซด์ 1 ชั้นอะตอมภายใน 3-4 วินาที ดังนั้นจึงไม่มีโอกาสได้พับผิวน้ำที่ปราศจากออกไซด์ในระบบสุญญากาศที่ความดันประมาณ  $10^{-6}$  millibar จึงมีความจำเป็นต้องพัฒนาระบบสุญญากาศให้ต่ำกว่าที่นี่ประมาณ 100 เท่าคือที่ความดัน  $10^{-8}$  millibar เพื่อจะได้มีเวลา 5-6 นาที ในการปรับระบบเพื่อให้เริ่มเกิดฟิล์มบางของเพชร

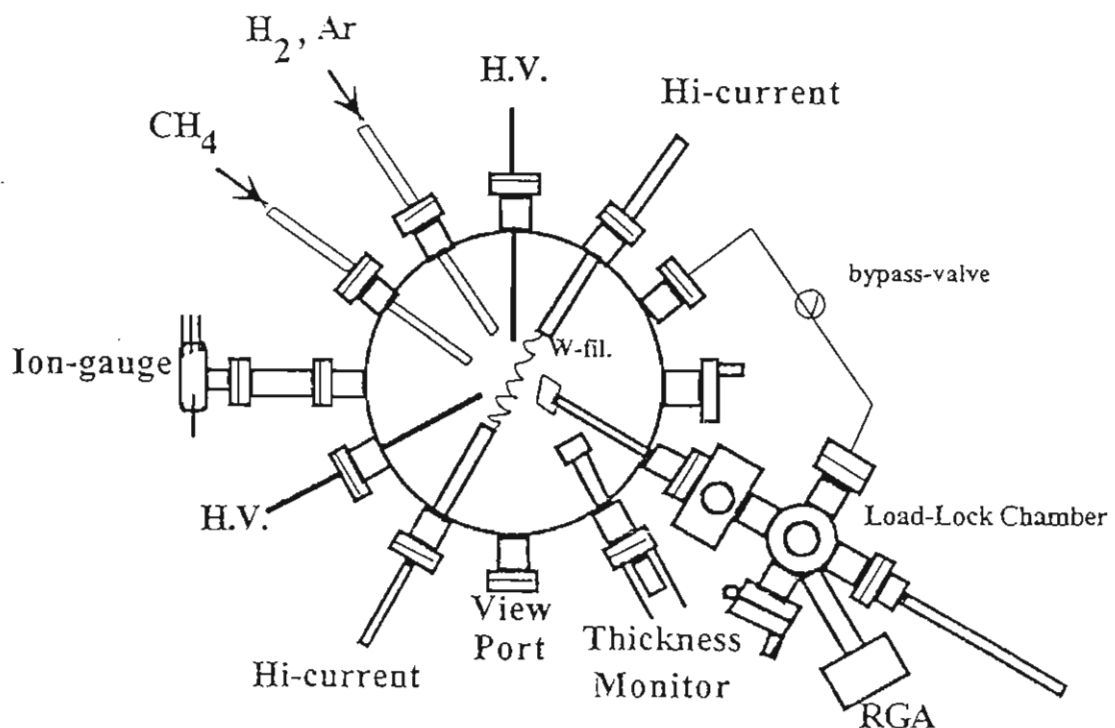
ผู้วิจัยได้พัฒนาระบบสุญญากาศที่ทำงานด้วย turbomolecular pump ร่วมกับ rotary pump ซึ่งได้ ความดันต่ำสุดประมาณ  $10^{-6}$  millibar ให้เป็นระบบสุญญากาศที่เหมาะสมกับงานวิจัยด้าน diamond thin film deposition โดยการทำงานร่วมกันของ titanium sublimation pump และ turbomolecular pump และ diffusion pump และ rotary pump ทำให้ได้ความดันต่ำสุดประมาณ  $10^{-8}$  millibar และได้ติดตั้งระบบการส่ง sample หรือ diamond substrate ผ่าน load-lock system ที่ทำงานแยกอิสระด้วย turbomolecular pump ร่วมกับ rotary pump อีกชุดหนึ่ง ซึ่งระบบสุญญากาศสำหรับ load-lock system ชุดนี้ทำหน้าที่ดังนี้

- 1) สำหรับ load แผ่น diamond substrate ขณะที่ระบบเตรียมฟิล์มเพชรอยู่ที่ความดัน  $10^{-8}$  millibar
- 2) สำหรับการทำงานของ Residual Gas Analyzer (RGA) เพื่อตรวจวัด relative partial pressure ของ gases ที่ใช้หรือเก็บขึ้น เช่น  $\text{H}_2$ ,  $\text{CH}_4$ ,  $\text{O}_2$ ,  $\text{H}_2\text{O}$
- 3) สำหรับช่วยปรับความดันในระบบเตรียมฟิล์มบางของเพชรสู่สมดุลที่ความดันที่ต้องการ

นอกจากนี้ยังได้ติดตั้งตัวตรวจวัด (monitors) ต่าง ๆ ที่เกี่ยวข้องกับการเตรียมฟิล์มบางของเพชร เช่น mass flow rate controller สำหรับแก๊ส  $\text{CH}_4$  และแก๊ส  $\text{H}_2$ , RGA, thermocouple, optical pyrometer, thickness monitor แสดงระบบการเตรียมฟิล์มบางของเพชรที่ได้พัฒนา ดังรูปที่ 2 (a) และ (b)



รูปที่ 2 (a) ภาพถ่ายระบบเตรียมฟิล์มบางของเพชรที่ได้พัฒนาขึ้น



รูปที่ 2 (b) ภาพໂຄະແກນນองจากด้านบนของระบบเตรียมฟิล์มบางของเพชร

คุณลักษณะของระบบเตรียมฟิล์มบางของเพชรที่ได้พัฒนาขึ้น เป็นดังนี้

1. ความดันต่ำสุดบริเวณไกส์ vacump pump  $2.5 \times 10^{-9}$  millibar  
ความดันต่ำสุดบริเวณที่เตรียมฟิล์มบางของเพชร  $2.5 \times 10^{-8}$  millibar
2. ช่วงความดันและอุณหภูมิขั้นตอนการเตรียมฟิล์มบางของเพชร
  - เทคนิค HF-CVD;  $5.2 \times 10^{-3} - 8.0 \times 10^{+1}$  millibar  
 $520^{\circ}\text{C} - 340^{\circ}\text{C}$  (วัดด้วย thermocouple)
  - เทคนิค AC-CVD;  $2.1 \times 10^{-1} - 3.0 \times 10^{+2}$  millibar  
 $50^{\circ}\text{C} - 35^{\circ}\text{C}$  (วัดด้วย thermocouple)
3. ไส้ทั้งสตีนร้อน อุณหภูมิ  $1100^{\circ}\text{C}$  (วัดด้วย optical pyrometer)
4. อัตราการไหลของแก๊ส  $\text{CH}_4$  และ  $\text{H}_2$ 
  - แก๊ส  $\text{CH}_4$   $0.29 - 1.43$  sccm
  - แก๊ส  $\text{H}_2$   $141 - 249$  sccm

(sccm = standard cubic centimeter per minutes; standard = 1 atmosphere,  $27^{\circ}\text{C}$ )

## บทที่ 2

### การตรวจสอบอักษร์บนผิวเพชร

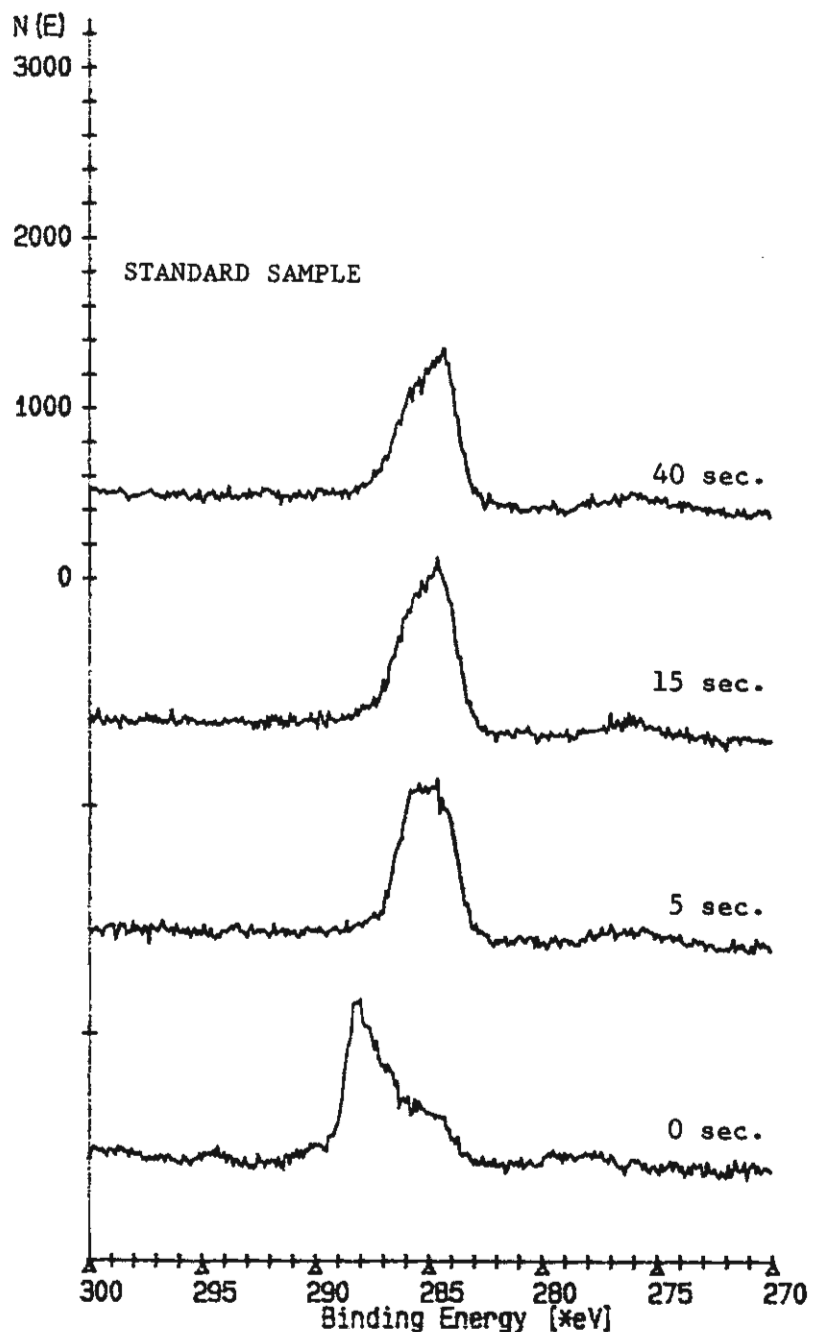
เพชรเป็นสารที่ไม่ยอมทำปฏิกิริยากับสารอื่นได้ง่าย ๆ จึงมีความคงทนต่อกรด ค่าง และความร้อน ทำให้มีปัญหาที่น่าสังสัยว่าบนผิวเพชรมีชั้นอนออกไซด์อยู่เหมือนกับสารอื่น ๆ ทั่ว ๆ ไปหรือไม่ จึงควรมีการตรวจสอบผิวเพชรเมื่อเราต้องการทำพิล์มนบางของเพชรบนแผ่นเพชรแบบ homoepitaxial เพราะในการเตรียมพิล์มนบางบนแผ่นรองรับแบบ epitaxial ในกรณีสารอื่น ๆ นั้นเราต้องกำจัดชั้นอนออกไซด์ที่ผิวของแผ่นรองรับ ก่อน การเตรียมพิล์มนบางจะจะประสบผลสำเร็จ เพราะจะต้องของสารที่เป็นพิล์มนบางจะต้องมีอันตรายร้ายกับเนื้อสารของแผ่นรองรับโดยตรง ซึ่งจะเกิดการต่อกันเป็นโครงสร้างผลึกเหมือนแผ่นรองรับของสมบูรณ์ เกิดพิล์มนบางแบบอิพิเทกซ์ที่สมบูรณ์พอ ๆ กับแผ่นรองรับหรือสมบูรณ์กว่าแผ่นรองรับขึ้นได้

แต่ในการเตรียมพิล์มนเพชรแบบ heteroepitaxial และ homoepitaxial ด้วยวิธี plasma assisted chemical vapour deposition บางครั้งได้มีการใช้แก๊สออกซิเจนเป็นด้าวช่วยให้อุณหภูมิการเกิดพิล์มนบางของเพชรเร็วขึ้น ทำให้เกิดความสงสัยขึ้นว่าแก๊สออกซิเจนทำหน้าที่ช่วย etching ผลึกเพชรที่ไม่สมบูรณ์ หรือเป็นด้าวช่วยยึด (stabilized) ผลึกเพชรที่ไม่สมบูรณ์เพื่อให้พิล์มนบางของเพชรเกิดขึ้นต่อเนื่องไปเรื่อย ๆ ไม่สิ้นสุด ถ้าเราไม่หยุดกระบวนการเตรียมพิล์มนบางของเพชร

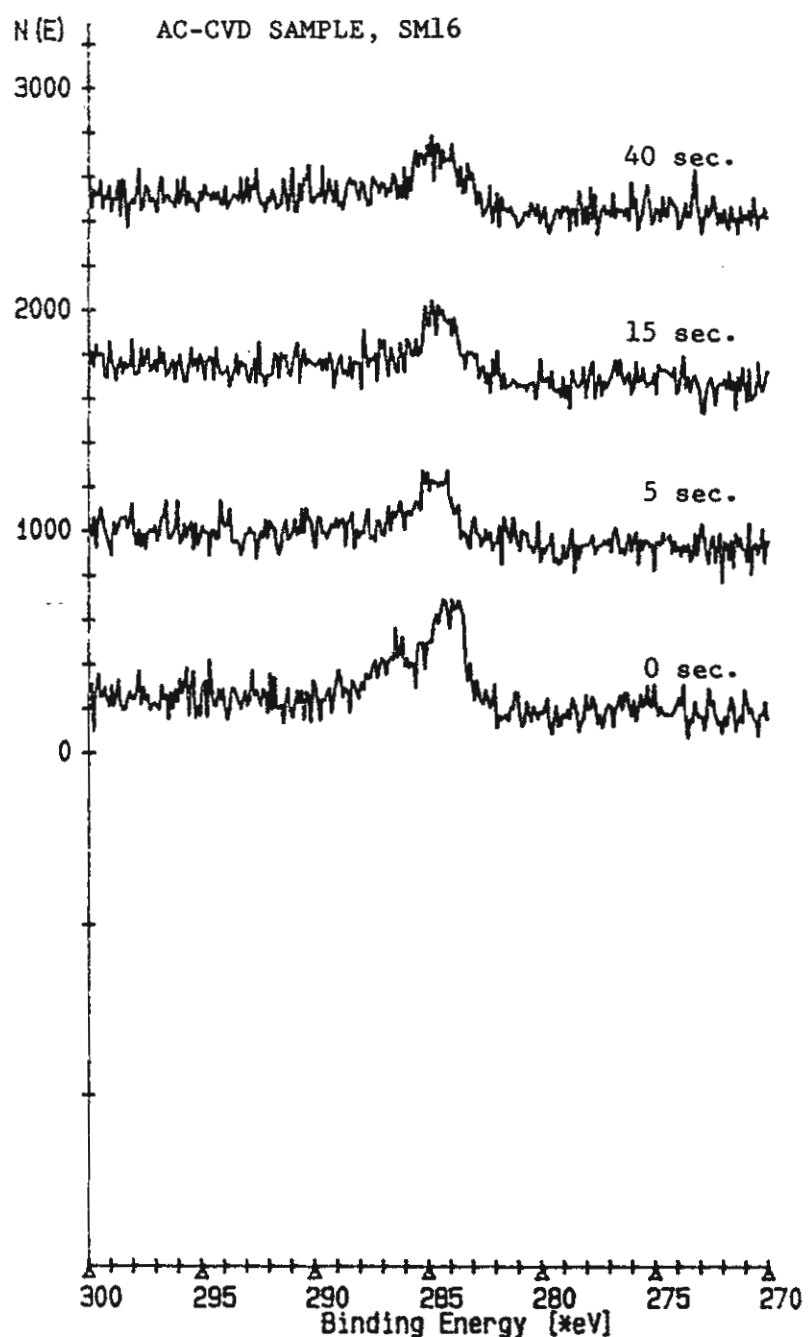
ดังนั้น ส่วนหนึ่งของงานวิจัยนี้จึงได้ใช้เครื่อง X-Ray Photoelectron Spectrometer(XPS) ที่ภาควิชา วิศวกรรมโลหการ คณะวิศวกรรมศาสตร์ จุฬาลงกรณ์มหาวิทยาลัย ศึกษาพิวของเพชรก่อนการเตรียมพิล์มน บางของเพชรและหลังการเตรียมพิล์มนบางของเพชรทั้งวิธี AC-CVD และ HF-CVD

เครื่อง XPS ขยะตรวจสอบชั้นอนออกไซด์บนผิวเพชรอยู่ที่ความดันประมาณ  $1 \times 10^{-9}$  millibar และมีระบบ sputtering ด้วยอิオンอาร์กอนที่แรงดันไฟฟ้า 500 โวลต์, กระแสไฟฟ้า 8.6 mA จากข้อมูลของบริษัท JEOL ที่ผลิตเครื่อง XPS ที่ผู้วิจัยใช้ ให้ข้อมูล etching rate ของ  $\text{SiO}_2$  ~ 250 Å/min แต่ไม่มีข้อมูล etching rate ของ  $\text{CO}$ ,  $\text{CO}_2$  จึงใช้ข้อมูลจาก Kert J. Lesker Co.<sup>5</sup> สำหรับ ion etching source คือ etching rate ของ Carbon 40 Å/min และ etching rate ของ  $\text{SiO}_2$  ~ 450 Å/min ผู้วิจัยจึงได้ประมาณ etching rate ของ  $\text{C}$ ,  $\text{CO}$ ,  $\text{CO}_2$  สำหรับการศึกษาชั้นอนออกไซด์บนผิวเพชร ~ 22 Å/min

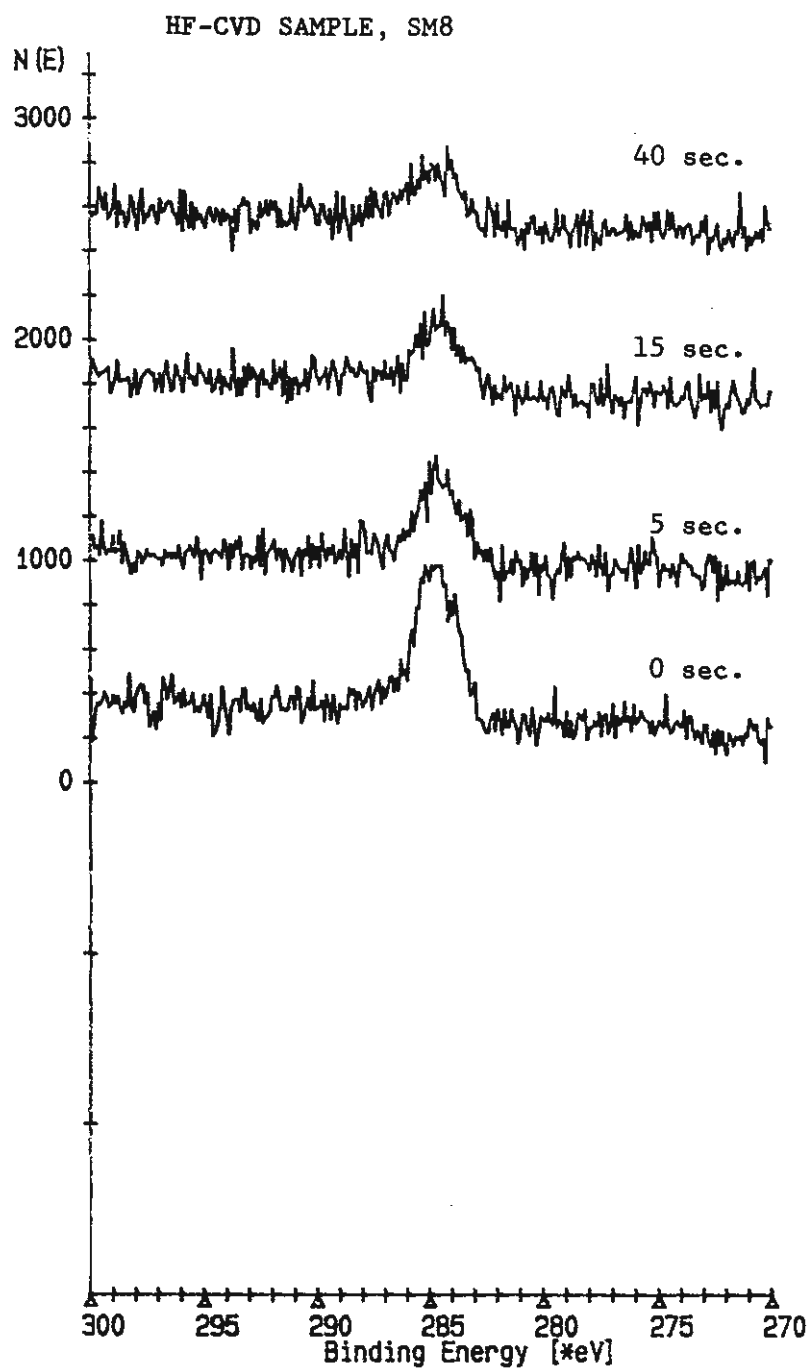
ผู้วิจัยได้ใช้เพชรสังเคราะห์ที่ผลิตโดยบริษัท ชูมิโนโม ประเทกซี่ปูน ขนาดกว้าง x ยาว x หนา = 5 น.m. x 5 น.m. x 0.3 น.m. ศึกษาชั้นอนออกไซด์ก่อนทำการเตรียมพิล์มนบางของเพชร ได้ผล XPS spectrographs ดังรูปที่ 3 ที่ cumulative etching time 0,5,15,40 วินาที จะเห็นว่าก่อน etching (cumulative etching time 0) นี peak ของ C-O bonding ~ 288 eV แต่ที่ cumulative etching time 15 วินาที เริ่มไม่พบชั้นอนออกไซด์ทำให้ประมาณชั้นอนออกไซด์บนผิวเพชรได้ ~ 5.5 Å<sup>°</sup>



รูปที่ 3 XPS spectrographs ของแผ่นเพชรที่ยังไม่ได้ทำการเตรียมฟิล์มนางของเพชร cumulative etching times ที่ 0, 5, 15, 40 วินาที



รูปที่ 4 XPS spectrographs ของแผ่นเพชรหลังจากการเตรียมพิล์มบางของเพชรโดยวิธี AC-CVD  
cumulative etching times ที่ 0 , 5 , 15 , 40 วินาที



รูปที่ 5 XPS spectrographs ของแผ่นเพชรหลังจากการเตรียมฟิล์มบางของเพชรโดยวิธี HF-CVD  
cumulative etching times ที่ 0 , 5 , 15 , 40 วินาที

และใช้แผ่นเพชรสังเคราะห์ที่ผลิตโดยบริษัท ชูมิโตโน ประเทศญี่ปุ่น เช่นกัน ขนาดกว้าง x ยาว x หนา = 1.5 น.m. x 1.5 น.m. x 0.3 น.m. ศึกษาขั้นตอนใช้ด้วยจากการเตรียมฟิล์มนางของเพชร โดยวิธี AC-CVD และวิธี HF-CVD ได้ผล XPS spectrographs ดังรูปที่ 4 และรูปที่ 5 ตามลำดับ

ในรูปที่ 4 จะเห็นว่าในการเตรียมฟิล์มนางของเพชร โดยวิธี AC-CVD พบรูป peak ของ hydrocarbon ที่ 286.6 eV, peak C-O ที่ 288 eV แต่หลังจาก cumulative etching time 5 วินาที ไม่พบ peak C-O แต่ peak ของ hydrocarbon บังพนอยู่ทำให้คาดได้ว่ามีการเกิดฟิล์มนางของเพชรและมี hydrogen ช่วย stabilized โครงสร้างของเพชร หลังจาก cumulative etching time 15 วินาที และ 40 วินาที ไม่พบ peak C-O อีกแล้ว พบแต่ peak ของ hydrocarbon 286.6 eV อยู่ร่วมกับ peak C-C 284-285 eV

ในรูปที่ 5 จะเห็นว่าในการเตรียมฟิล์มนางของเพชร โดยวิธี HF-CVD ไม่พบ peak C-O เด่นชัด อาจจะถูก peak ของ hydrocarbon บังอยู่ และพบ peak C-C อยู่ร่วมกับ peak ของ hydrocarbon เช่นเดียวกับรูปที่ 4 แต่เมื่อนำสังเกตคือ หลังจาก etching นาน 40 วินาที ฐาน peak ค้าน binding energy ค่าสูง กว้างออกอาจเป็นเนื้องจากมี C-O peak ที่ผิว diamond substrate ที่กำจัดออกไม่หมด โดยวิธี Hot Filament ก็เป็นได้ก็มี peak C-O ที่ 288 eV ทำให้ฐาน peak กว้างขึ้นนั่นเอง แต่ยังไม่สามารถสรุปยืนยันแน่นอนได้เนื่องจาก quality ของ peak ไม่ค่อน พฤษภาคมจากขนาดของ diamond substrate เล็กเกินไป คือขนาดกว้าง x ยาว x หนา = 1.5 น.m. x 1.5 น.m. x 0.3 น.m. แต่เครื่อง XPS ที่ใช้ศึกษานี้ได้ถูกออกแบบมาเพื่อใช้กับ specimen ขนาดกว้าง x ยาว = 10 น.m. x 10 น.m. คงจะต้องปรับปรุงการทดลองให้มีความน่าเชื่อถือมากขึ้นต่อไปในอนาคต เช่น ใช้แผ่นเพชรขนาดใหญ่ขึ้น หรือใช้เพชรขนาดเล็กมาเรียงกันให้มีพื้นที่มากขึ้น เป็นต้น

### บทที่ 3

#### การเตรียมอิพิเทกซีสภาวะไอของฟิล์มเพชร

ในการเตรียมอิพิเทกซีสภาวะไอ (vapour phase epitaxy, VPE) ของฟิล์มเพชร ผู้วิจัยได้ใช้แผ่นซิลิกอนหน้าผาลีก (100) ขนาด กว้างx ยาวx หนา = 10 มม.x 10 มม. x 0.3 มม. จำนวน 9 ตัวอย่าง เพื่อเป็นการทดสอบระบบการเตรียมฟิล์มบางของเพชรที่ได้พัฒนาขึ้น แต่เตรียมด้วยวิธี HF-CVD ; Si-no.1-5 ระบบทำสูญญากาศได้ดีสุด  $\sim 3 \times 10^{-6}$  millibar เนื่องจากยังไม่มี titanium sublimation pump(TSP), Si-no.1, ใช้ methanol เป็นแหล่งให้คาร์บอน , Si-no.2 ใช้  $\text{CH}_4$  อย่างเดียว อัตราการไหล 1 ลิตร/ นาที, ความดัน  $7 \times 10^{-3}$  millibar, ใช้เวลาในการ deposition 50 ชั่วโมง, ก่อนนำแผ่นซิลิกอนเข้าสู่ระบบมีการ etching ด้วยกรด Lactic :  $\text{HNO}_3$  : HF = 25 : 4 : 1 โดยปริมาตร นาน 10 นาที แล้วล้างด้วยน้ำสะอาด 18 mega-ohm-cm เป่าแห้งด้วยแก๊ส  $\text{N}_2$ , Si-no.6-9 ระบบทำสูญญากาศสามารถทำสูญญากาศได้ดีสุด  $\sim 3 \times 10^{-7}$  millibar สรุปเงื่อนไขการเตรียมฟิล์มบางของเพชรบนแผ่นซิลิกอนหน้าผาลีก (100) จำนวน 9 ตัวอย่างนี้ในตารางที่ 1

ภายหลังได้พัฒนาให้ระบบการเตรียมฟิล์มเพชร สามารถทำสูญญากาศได้ดีสุด  $\sim 2 \times 10^{-8}$  millibar เนื่องจากใช้ copper gasket แทนยาง viton ที่ sealing ของ main chamber นอกจากนี้ยังสามารถวัดอัตราส่วนของ partial pressure ของแก๊ส  $\text{H}_2$  ,  $\text{CH}_4$  ,  $\text{O}_2$  ด้วย Residual Gas Analyzer (RGA) และได้ใช้แผ่นเพชรหน้าผาลีก (100) ขนาด กว้างx ยาวx หนา = 1.5 มม.x 1.5 มม.x 0.3 มม. จำนวน 12 ตัวอย่าง สรุปเงื่อนไขการเตรียมฟิล์มบางของเพชรบนแผ่นเพชรหน้าผาลีก (100) จำนวน 12 ตัวอย่างนี้ในตารางที่ 2 แสดง RGA mass spectrograph ขณะความดันที่ main chamber ทำสูญญากาศได้ดีสุดในรูปที่ 6 และแสดง RGA mass spectrograph ขณะที่กำลังเตรียมฟิล์มบางของเพชรในรูปที่ 7 ในตารางที่ 2 สารตัวอย่างหลังจาก sample no. SM9 ระบบสามารถปรับอัตราการไหลของ แก๊ส  $\text{CH}_4$  และ  $\text{H}_2$  ได้ละเอียด คือ แก๊ส  $\text{CH}_4$  ~0.29-1.43 sccm , แก๊ส  $\text{H}_2$  ~141-249 sccm เนื่องจากได้ติดตั้ง Gas Flow Rate Controller เข้ากับระบบการเตรียมฟิล์มบางของเพชรเรียบร้อยแล้ว, ก่อนนำแผ่นเพชรเข้าสู่ระบบมีการ etching ด้วยกรด  $\text{H}_2\text{SO}_4$  :  $\text{HNO}_3$  = 9:1 โดยปริมาตร ขณะที่กรดผสมถูกดึงให้เดือด , etching นาน 1 ชั่วโมง แล้วล้างด้วยน้ำสะอาด 18 mega-ohm-cm, เป่าแห้งด้วยแก๊ส  $\text{N}_2$

และได้เตรียมฟิล์มบางของเพชรด้วยเทคนิค HF-CVD บนแผ่นเพชรหน้าผาลีก (100) ขนาด กว้าง x ยาวx หนา = 2.5 มม.x 2.5 มม.x 0.3 มม. จำนวน 10 แผ่น สรุปเงื่อนไขการเตรียมในตารางที่ 3 ขณะนี้ระบบการเตรียมฟิล์มเพชรสามารถวัดอุณหภูมิแผ่นเพชรและ hot tungsten filament

ตารางที่ 1 แสดงเงื่อนไขการเติร์บมีทั้งหมดของพารามเมต์ริกที่ต้องน้ำหนัก (100) ขนาด กว้างปีกกว้างหนา = 10 มม. x 10 มม. x 0.3 มม. จำนวน 9 ตัวอย่าง

Date (loaded)	Sample No.	Base Pressure (torr)	Surface Treatment	Deposition Technique	Deposition Time	Deposition Pressure (mbar)	Hydrogen Partial Pressure	Methane Partial Pressure	Oxygen Partial Pressure
24 พ.ค. 38	Si-1	-----	24 hr. heat	HF-CVD	3hr.	$5 \times 10^{-2}$	-----	-----	-----
9 มิ.ย. 38	Si-2	-----	8hr. heat	HF-CVD	49hr.	$7 \times 10^{-3}$	-----	-----	-----
7 ก.ย. 38	Si-3	$5.7 \times 10^{-6}$	12hr. heat	HF-CVD	38hr.	$6 \times 10^{-3}$	-----	-----	-----
18 ก.ย. 38	Si-4	$2.4 \times 10^{-7}$	5hr. heat	HF-CVD	17hr.	$3 \times 10^{-2}$	-----	-----	-----
26 ต.ค. 38	Si-5	$5.7 \times 10^{-6}$	0 min. heat	HF-CVD	96hr.	$(7-8) \times 10^{-2}$	-----	-----	-----
10 พ.ค. 39	Si-6	$2.9 \times 10^{-7}$	19 hr. heat	HF-CVD	96hr.	$(1-9) \times 10^{-2}$	-----	-----	-----
27 พ.ค. 39	Si-7	$2.9 \times 10^{-7}$	13 hr. heat	HF-CVD	13hr.3min.	$(3-6) \times 10^{-2}$	-----	-----	-----
1 ต.ค. 39	Si-8	$5.1 \times 10^{-7}$	19 hr. heat	HF-CVD	3hr.20min.	$(.01-6.2) \times 10^{-6}$	-----	-----	-----
4 ต.ค. 39	Si-9	$7.9 \times 10^{-7}$	4 hr. heat	HF-CVD	3hr.55min.	$(0.9-1.7) \times 10^{-6}$	-----	-----	-----

HF-CVD=Hot Filament Chemical Vapour Deposition, 760 torr = 1000 millibar

ตารางที่ 2 เสตดงเงื่อนไขการเติร์บฟลัมบาร์ชงเพหะรบผ่านเพหะรหน้าเหล็ก (100) ขนาด กว้างxยาวxหนา = 1.5 มม.x1.5 มม.x0.3 มม.จำนวน 12 ตัวอย่าง

Date (loaded)	Sample No.	Base Pressure (torr)	Surface Treatment	Deposition Technique	Deposition Time	Deposition Pressure (mbar)	Hydrogen Partial Pressure	Methane Partial Pressure	Oxygen Partial Pressure
19 พ.ค. 39	SM1	3.5x10 <sup>-8</sup>	0 min. heat	HF-CVD	7hr.24min.	3.8x10 <sup>-6</sup>	1.968x10 <sup>-5</sup>	1.499x10 <sup>-6</sup>	7.141x10 <sup>-10</sup>
19 พ.ค. 39	SM4	3.6x10 <sup>-8</sup>	15 min. Ar	AC-CVD	10hr.	2.1x10 <sup>-1</sup>	-----	-----	-----
23 พ.ย. 39	SM7	7.7x10 <sup>-8</sup>	30 min. Ar	AC-CVD	10hr.	4.1x10 <sup>-1</sup>	-----	-----	-----
26 พ.ย. 39	SM6	6.1x10 <sup>-8</sup>	15 min. Ar	HF-CVD	5hr.	4.7x10 <sup>-1</sup>	5.009x10 <sup>-6</sup>	9.003x10 <sup>-7</sup>	1.809x10 <sup>-9</sup>
27 พ.ย. 39	SM5	5.9x10 <sup>-8</sup>	30 min. heat	HF-CVD	5hr.	5.2x10 <sup>-3</sup>	6.191x10 <sup>-6</sup>	1.511x10 <sup>-6</sup>	1.285x10 <sup>-9</sup>
2 ธ.ค. 39	SM8	1.9x10 <sup>-8</sup>	60 min. heat	HF-CVD	5hr.	5.7x10 <sup>-3</sup>	6.654x10 <sup>-6</sup>	1.197x10 <sup>-7</sup>	1.237x10 <sup>-9</sup>
3 ธ.ค. 39	SM12	7.8x10 <sup>-8</sup>	30 min. heat	HF-CVD	5hr.	4.9x10 <sup>-2</sup>	5.472x10 <sup>-6</sup>	4.250x10 <sup>-7</sup>	1.047x10 <sup>-9</sup>
5 ธ.ค. 39	SM14	7.8x10 <sup>-8</sup>	30 min. heat	HF-CVD	5hr.	4.3x10 <sup>-1</sup>	7.117x10 <sup>-6</sup>	1.635x10 <sup>-7</sup>	9.997x10 <sup>-10</sup>
8 ธ.ค. 39	SM13	3.1x10 <sup>-8</sup>	30 min. Ar	AC-CVD	5hr.	4.7x10 <sup>-1</sup>	1.049x10 <sup>-5</sup>	2.279x10 <sup>-6</sup>	4.284x10 <sup>-10</sup>
17 ธ.ค. 39	SM9	1.8x10 <sup>-8</sup>	15 min. Ar	AC-CVD	5hr.	7.6x10 <sup>-1</sup>	4.740x10 <sup>-6</sup>	2.713x10 <sup>-9</sup>	1.904x10 <sup>-10</sup>
30 ธ.ค. 39	SM15	2.8x10 <sup>-8</sup>	45 min. Ar	AC-CVD	5hr.	3.0x10 <sup>-2</sup>	2.559x10 <sup>-6</sup>	5.841x10 <sup>-8</sup>	3.332x10 <sup>-10</sup>
12 พ.ค. 39	SM16	2.1x10 <sup>-8</sup>	60 min. Ar	AC-CVD	5hr.	2.4x10 <sup>-2</sup>	1.055x10 <sup>-6</sup>	2.123x10 <sup>-8</sup>	6.665x10 <sup>-10</sup>

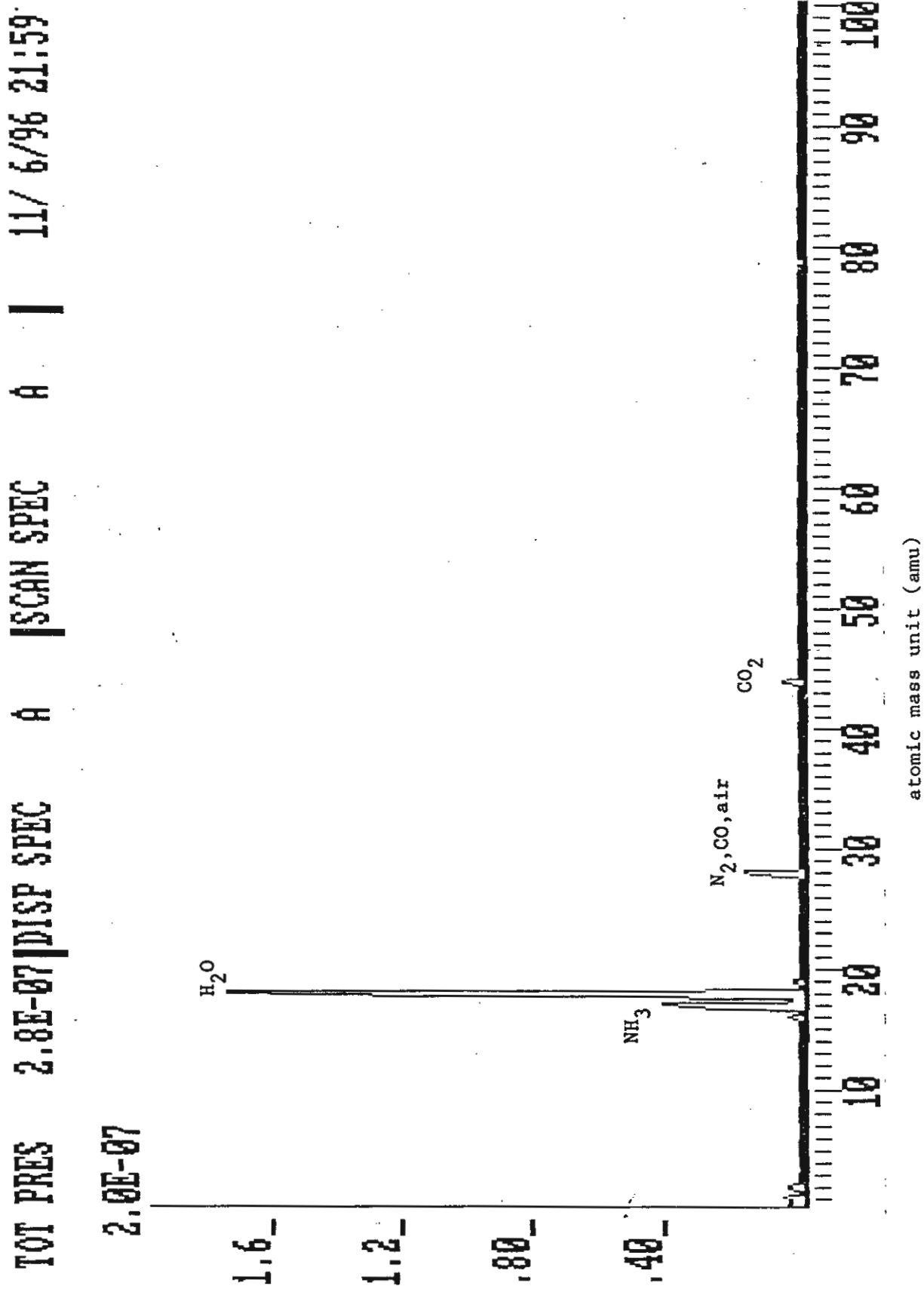
HF-CVD=Hot Filament Chemical Vapour Deposition

AC-CVD=Alternating Current Chemical Vapour Deposition

ตารางที่ 3 แสดงเงื่อนไขการเตรียมพิมพ์รูบบัฟของเพชรน้ำแข็ง (100) ขนาด กว้างยาวหนา = 2.5 มม. x 2.5 มม. x 0.3 มม. จำนวน 10 ตัวอย่าง

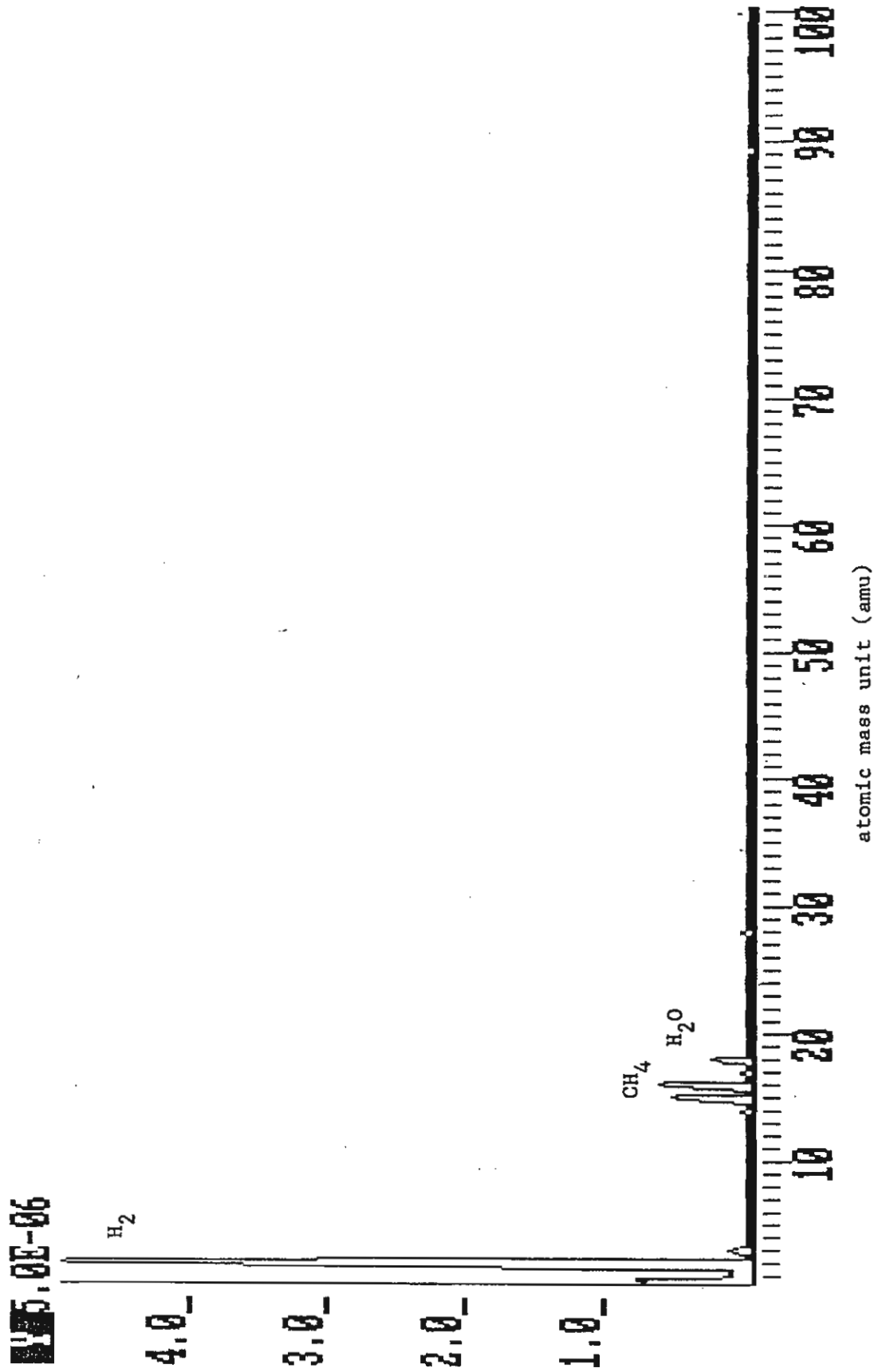
Date (loaded)	Sample No.	Base Pressure (torr)	Surface Treatment	Deposition Technique	Deposition Time	Deposition Pressure (mbar)	Hydrogen Partial Pressure	Methane Partial Pressure	Oxygen Partial Pressure
30 ป. 40	SM2.5-1	$3.0 \times 10^{-6}$	1 hr. heat	HF-CVD	5hr.	$1.4 \times 10^{-4}$	-----	$\sim 5.6 \times 10^{-6}$	-----
30 ต. 40	SM2.5-2	$2.8 \times 10^{-8}$	14 hr. heat	HF-CVD	6hr.	$8.0 \times 10^{-1}$	$8.19 \times 10^{-6}$	$4.200 \times 10^{-7}$	$8.569 \times 10^{-10}$
2 ต. 40	SM2.5-3	$1.5 \times 10^{-7}$	0 min. heat	HF-CVD	12hr.	$4.5 \times 10^{-1}$	$2.413 \times 10^{-6}$	$2.077 \times 10^{-7}$	$9.521 \times 10^{-10}$
8 ต. 40	SM2.5-4	$4.1 \times 10^{-8}$	5 min. heat	HF-CVD	12hr.	$7.0 \times 10^{+0}$	$1.245 \times 10^{-5}$	$1.233 \times 10^{-7}$	$5.712 \times 10^{-10}$
9 ต. 40	SM2.5-5	$1.5 \times 10^{-7}$	10 min. heat	HF-CVD	20hr.	$9.2 \times 10^{-1}$	$2.108 \times 10^{-5}$	$8.159 \times 10^{-8}$	$3.332 \times 10^{-10}$
11 ต. 40	SM2.5-6	$2.8 \times 10^{-7}$	10 min. heat	HF-CVD	12hr.	$4.0 \times 10^{-1}$	$1.794 \times 10^{-5}$	$1.008 \times 10^{-7}$	$2.856 \times 10^{-10}$
12 ต. 40	SM2.5-7	$1.5 \times 10^{-7}$	0 min. heat	HF-CVD	24hr.	$4.7 \times 10^{-1}$	$1.903 \times 10^{-5}$	$6.303 \times 10^{-8}$	$4.284 \times 10^{-10}$
15 ต. 40	SM2.5-8	$2.4 \times 10^{-7}$	10 min. heat	HF-CVD	100hr.	$1.0 \times 10^{+0}$	$2.686 \times 10^{-5}$	$1.477 \times 10^{-7}$	$3.332 \times 10^{-10}$
20 ต. 40	SM2.5-9	$1.5 \times 10^{-7}$	0 min heat	HF-CVD	50hr.	$1.0 \times 10^{+0}$	$2.681 \times 10^{-5}$	$1.662 \times 10^{-7}$	$3.332 \times 10^{-10}$
24 ต. 40	SM2.5-10	$4.9 \times 10^{-8}$	5 min. heat	HF-CVD	25hr.	$1.0 \times 10^{+0}$	$2.418 \times 10^{-6}$	$1.310 \times 10^{-7}$	$5.141 \times 10^{-9}$

HF-CVD=Hot Filament Chemical Vapour Deposition



รูปที่ 6 RGA mass spectrograph ขณะที่ความดันที่ main chamber ทำสุญญากาศได้ดีสุด

TOT PRES 1.4E-05 | DISP SPEC A | SCAN SPEC A | 10/ 4/96 11:53



รูปที่ 7 RGA mass spectrograph ขณะกำลังเตรียมพิล์มบางของเพชร

ด้วย optical pyrometer ผ่าน ZnSe window, ก่อนนำแผ่นเพชรเข้าสู่ระบบ มีการล้างแผ่นเพชรด้วย methanol, acetone แล้วเป่าแห้งด้วยลมร้อน การเตรียมพิล์มบางของเพชรชุดนี้เพื่อทดสอบว่า methanol, acetone ช่วยในการเกิดพิล์มเพชรหรือไม่ โดยไม่มีการกัดด้วยกรด และเงื่อนไขการเตรียมให้เทียบกับงานวิจัยของกลุ่มอื่นที่บอกว่าได้ผลดี โดยมีสมมุติฐานว่าชั้นอนออกไซด์ไม่มีผลต่อการเกิดพิล์มเพชรแบบ epitaxial

## บทที่ 4

### การตรวจสอบคุณสมบัติพิล์มน้ำของเพชร

ได้ตรวจสอบคุณสมบัติพิล์มน้ำของเพชรด้วย Field Emission Scanning Electron Microscope (FE-SEM), X-Ray Photoelectron Spectrometer, Laser Raman Microprobe Spectrometer, X-Ray Diffractometer (XRD) และ X-Ray Diffraction Topography (XDT) โดยมีรายละเอียด ดังนี้

#### 1) Field Emission Scanning Electron Microscope (FE-SEM)

ใช้ FE-SEM ขึ้นห้อง JEOL, Model JSM-6301F ที่ศูนย์โลหะและวัสดุ แห่งชาติเพื่อตรวจสอบ surface morphology กับตัวอย่างจำนวน 12 ตัวอย่างคือ SM4, SM7, SM12, SM13, SM15, SM2.5-3, SM2.5-4, SM2.5-5, SM2.5-7, SM2.5-8, SM2.5-9 และ standard (STD) ดังแสดงผลในรูปที่ 8

#### 2. X-Ray Photoelectron Spectrometer (XPS)

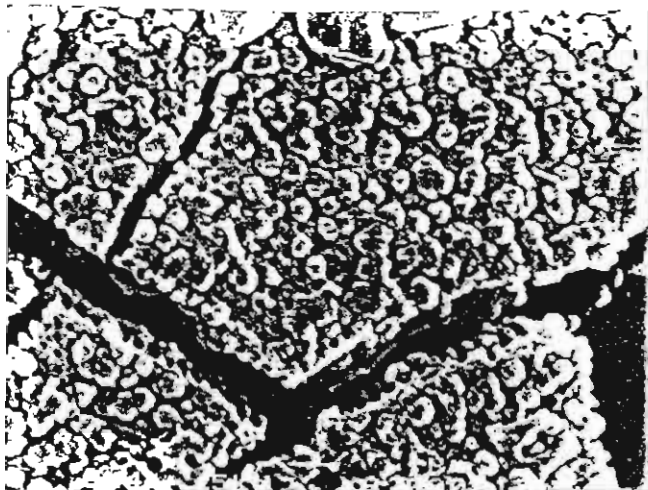
ใช้ XPS ขึ้นห้อง JEOL ที่ภาควิชาวิศวโลหกรรม คณะวิศวกรรมศาสตร์ จุฬาลงกรณ์มหาวิทยาลัย เพื่อตรวจสอบชั้นออกไซด์ที่ผิวเพชรและ interface กับตัวอย่าง จำนวน 5 ตัวอย่างคือ SM 5, SM 8, SM9, SM16 และ standard ดังแสดงผลใน รูปที่ 3, รูปที่ 4 และรูปที่ 5 ในบทที่ 2 และ รูปที่ 9, รูปที่ 10

#### 3. Laser Raman Microprobe Spectrometer

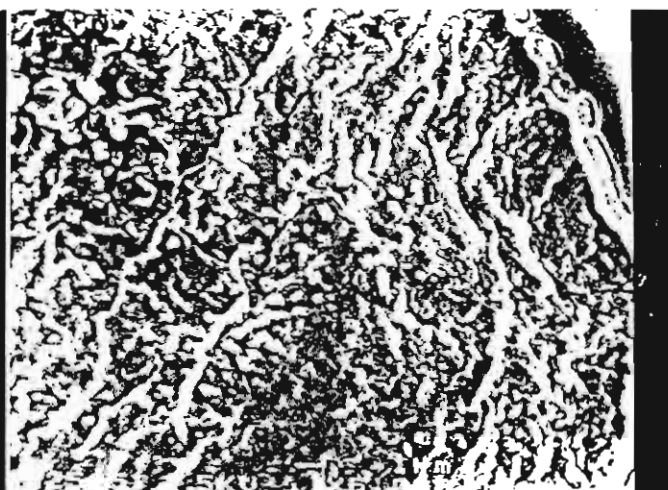
ใช้ Laser Raman Microprobe Spectrometer ขึ้นห้อง Renishaw Model Ramascope 2000, ใช้ laser beam จาก laser diode ความยาวคลื่น 782 nm ที่ศูนย์โลหะและวัสดุแห่งชาติ เพื่อตรวจสอบ chemical structure ของพิล์มน้ำ, ผลึก ภายนอกลักษณะ optics กำลังขยาย 500 เท่า กับตัวอย่าง จำนวน 7 ตัวอย่างคือ SM1, SM4, SM7, SM12, SM13, SM15 และ standard ดังแสดงผลในรูปที่ 11

#### 4. X-Ray Diffractometer (XRD) และ X-Ray Diffraction Topography (XDT)

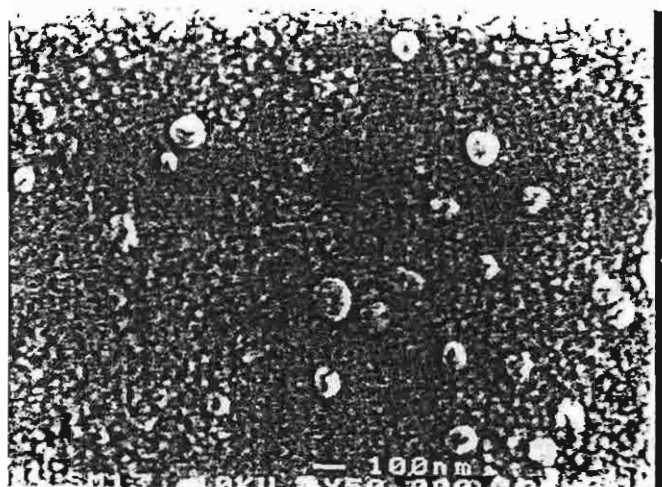
ใช้ X-Ray Diffractometer ยี่ห้อ Philips, รุ่น X' Pert ที่ห้องปฏิบัติการกลางการเลี้ยวเบน รังสีเอกซ์ คณะวิทยาศาสตร์ มหาวิทยาลัยขอนแก่น และมี Thin Film Attachment สำหรับวิเคราะห์สาร โดยให้ x-rays ที่ถูก diffract ถูกแยก spectrum ผ่าน monochromator แล้วเข้าสู่ x-ray detector เป็น parallel beam ซึ่งออกแบบมาสำหรับการวิเคราะห์สารฟลัมบางที่อยู่บนแผ่นรองรับ ทำกับตัวอย่างจำนวน 1 ตัวอย่างคือ Si-no.2 พนวณการเลื่อน (shift) ของ Si(400),  $K_{\alpha}$  peak และพบร peaks ของเพชร และ  $\beta$ -SiC แสดงถึงการเกิด heteroepitaxial จึงได้ตรวจสอบ stress distribution<sup>6</sup> ด้วยเทคนิค X-Ray Diffraction Topography (XDT) โดยการใช้ dental x-ray film เพื่อถ่ายภาพ XDT แบบ Berg-Barret และผลในภาคผนวก



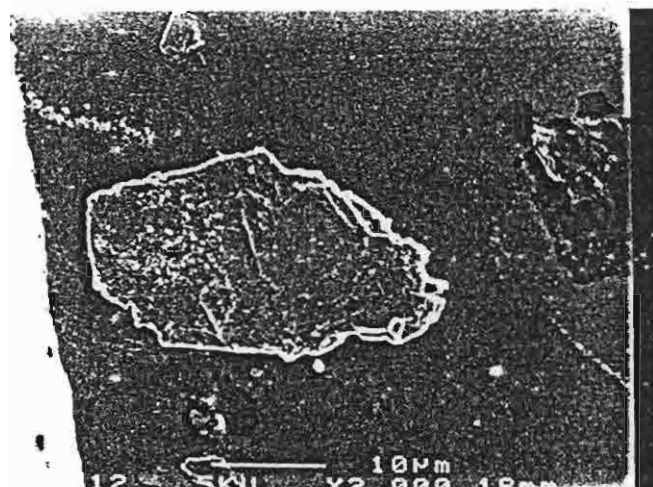
(a) AC-CVD, SM4, 9,000X



(b) HF-CVD, SM2.5-5, 5,000X



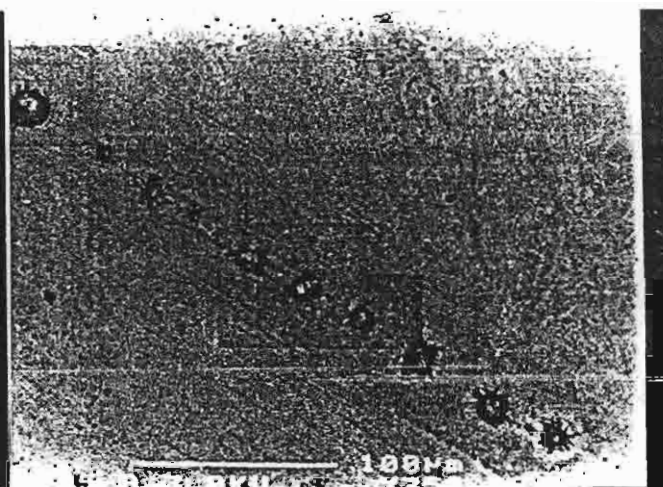
(c) AC-CVD, SM13, 50,000X



(d) HF-CVD, SM12, 2,000X

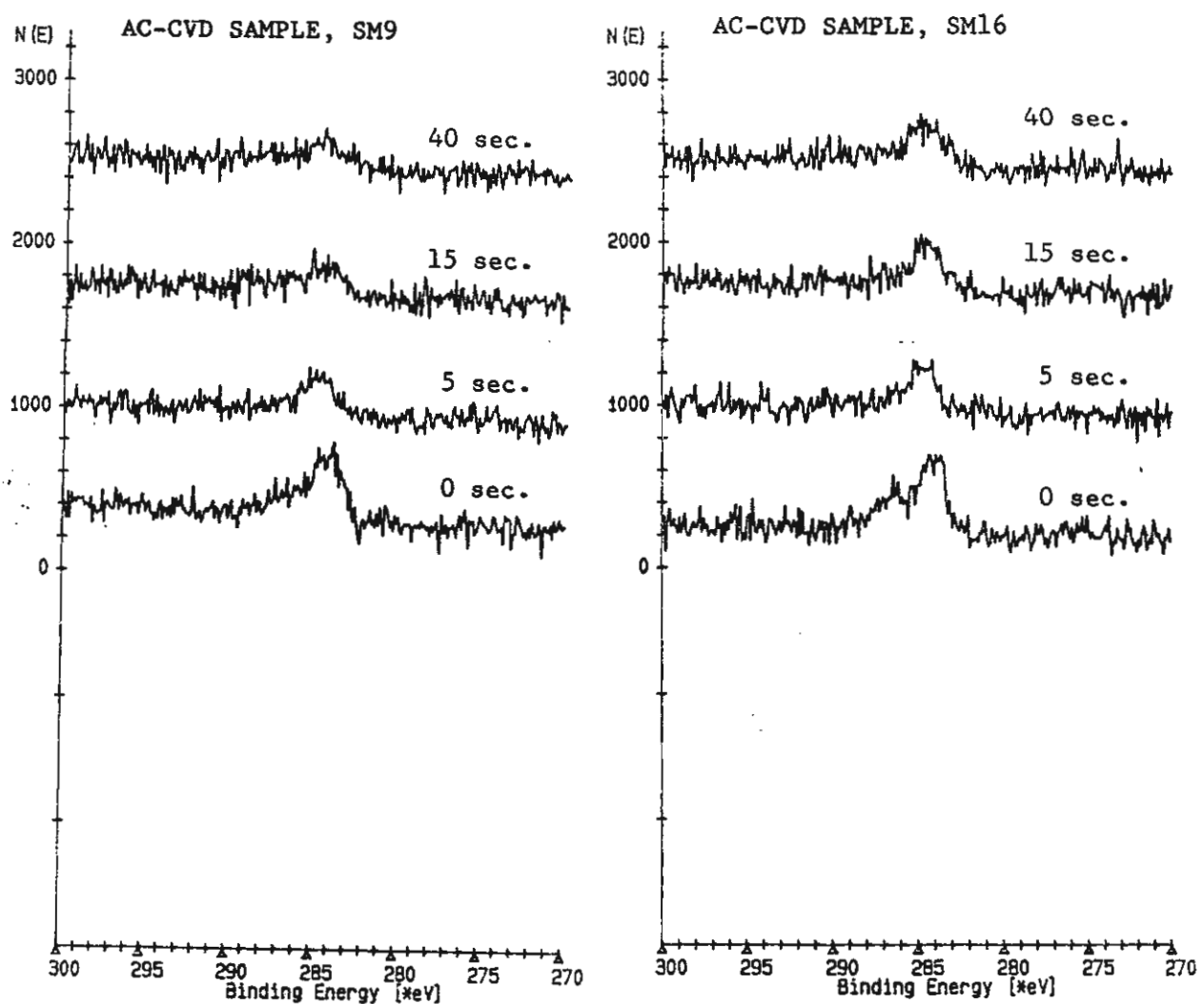


(e) AC-CVD, SM15, 2,000X



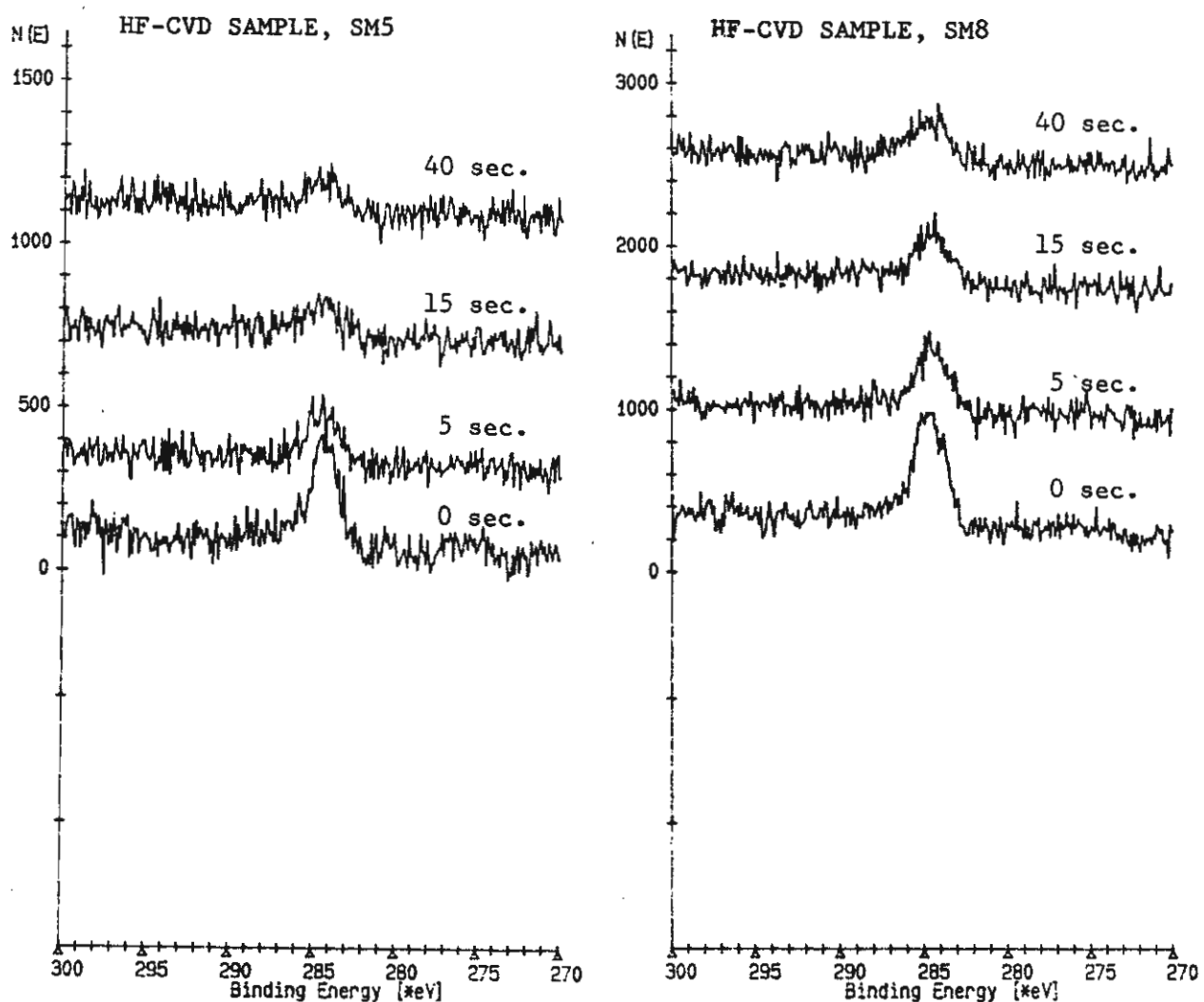
(f) HF-CVD, SM2.5-8, 350X

รูปที่ 8 ภาพจาก FE-SEM ของสารตัวอย่างบางด้าว

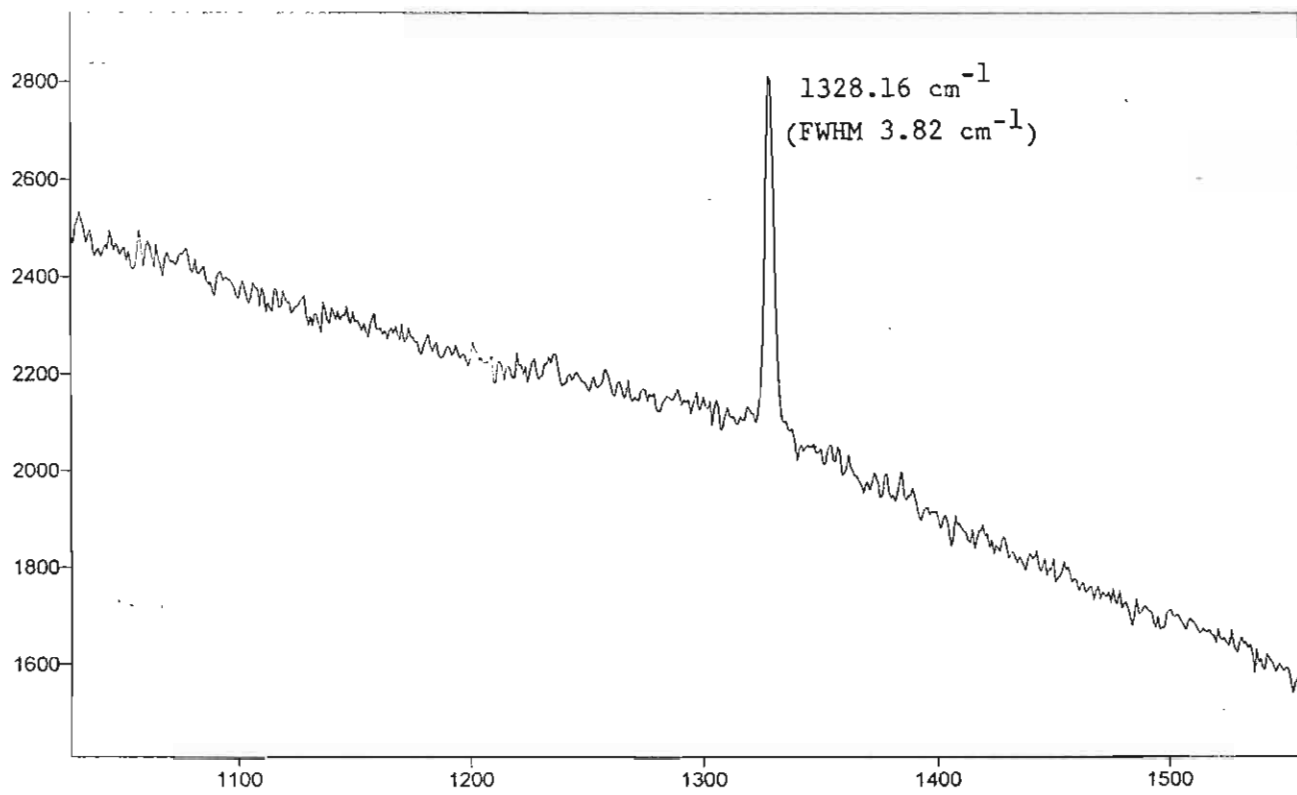
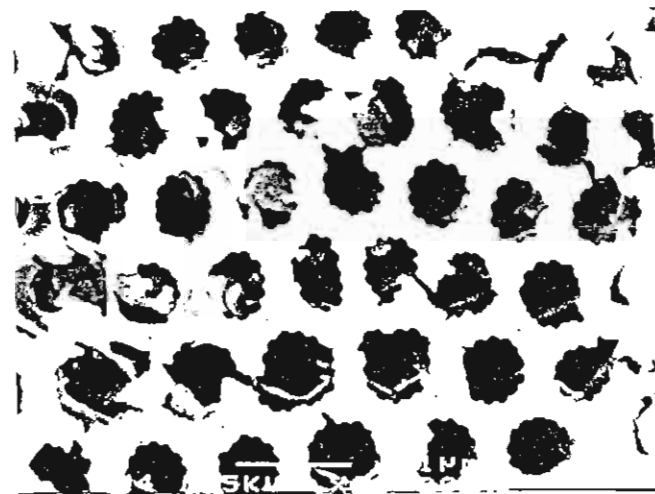


รูปที่ 9 XPS spectrographs ของแผ่นเพชรหลังจากการเตรียมพิล๊บบางของเพชร โดยวิธี

AC-CVD sample no, SM 9, SM16 ; cumulative etching times ที่ 0 , 5 , 15 , 40 วินาที



รูปที่ 10 XPS spectrographs ของแผ่นเพชรหลังจากการเตรียมพิล์มบางของเพชร โดยวิธี HF-CVD, sample no. SM5, SM8 ; cumulative etching times ที่ 0 , 5 , 15 , 40 วินาที



รูปที่ 11 Laser Raman spectrographs ของสารตัวอ่อนบ่างบางตัวพร้อมภาพจาก FE-SEM  
บริเวณที่ laser beam ตกกระทบ

## สรุปและวิจารณ์ผล

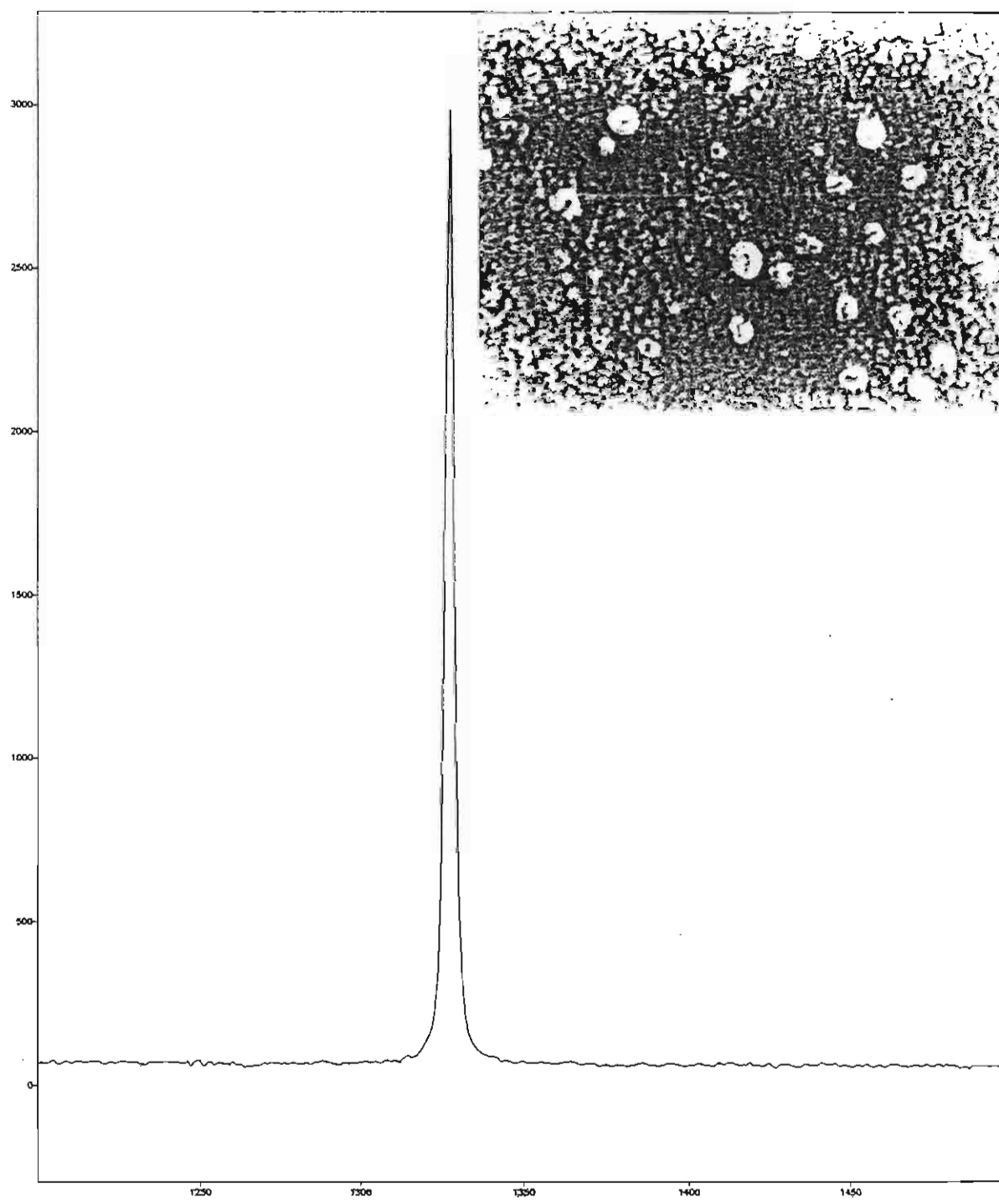
จากการวิจัยสรุปได้ว่าแผ่นเพชรที่ใช้สำหรับเตรียมฟิล์มบางของเพชรมีชั้นออกไซด์บนผิวแผ่นเพชรหนาประมาณ 5-6 Å หรือประมาณไม่เกิน 2 monolayer จากผลการศึกษาชั้นออกไซด์ของแผ่นเพชรที่ผ่านการทำความสะอาดด้วยกรดพสมะหัวว่าง  $H_2SO_4$  กับ  $HNO_3$  ก่อนนำเข้าสู่ระบบการเตรียมฟิล์มบางเพชรด้วยวิธี HF-CVD จำนวน 6 ตัวอย่าง ด้วยเครื่อง XPS พบ peak ของ C-O ที่ 288 eV ดังรูปที่ 5 และรูปที่ 10 และจากการ etching ด้วยอิオนอาร์กอน ในเครื่อง XPS ที่เวลา 0,5,15,40 วินาที พบร่องรอยบนผิวแผ่นเพชร แสดงว่าวิธีการกำจัดชั้นออกไซด์ด้วยวิธีไส้ทั้งสตีเด็นร้อนที่อุณหภูมิเพชรประมาณ 500-600 °C ไม่สามารถกำจัดชั้นออกไซด์ได้หมดสอดคล้องกับผลงานของ B.B Pate<sup>3</sup>

และจากการศึกษาลักษณะผิว (surface morphology) ของแผ่นเพชรที่ไม่ทำความสะอาดด้วยกรดพสมะหัวว่าง  $H_2SO_4$  กับ  $HNO_3$  ก่อนนำเข้าสู่ระบบการเตรียมฟิล์มเพชรด้วยวิธี HF-CVD ด้วยเครื่อง FE-SEM พบการติดของผลึกเพชรเป็นหย่อม ๆ (island) แสดงการเกิด อิพิแทกซ์เป็นชุดๆ เรียกว่า pin hole epitaxy เกิดจากการมีชั้นออกไซด์ปักกลุ่มเกือบตลอดผิวแผ่นรองรับเพชรเหลือบริเวณที่ไม่มีออกไซด์ปักกลุ่มเป็นรูเล็กๆ ทำให้เกิดผลึกเพชรเป็นหย่อม ๆ ดังรูปที่ 8(b) และ 8(f)

เบริยนเทียบกับการเตรียมฟิล์มบางของเพชรด้วยวิธี AC-CVD ซึ่งมีการกัดแผ่นเพชรด้วยกรดพสมะหัวว่าง  $H_2SO_4$  กับ  $HNO_3$  จำนวน 6 ตัวอย่าง ก่อนนำเข้าสู่ระบบการเตรียมฟิล์มบางของเพชร จากผลการศึกษาชั้นของออกไซด์ด้วยเครื่อง XPS ไม่พบ peak ของ C-O และภายหลัง etching ในเครื่อง XPS ที่เวลา 0,5,15,40 วินาทีก็ไม่พบการฝังตัวของออกซิเจนดังรูปที่ 4 และรูปที่ 9 ที่เป็นเช่นนี้ คงเป็นเพราะขณะเกิดขบวนการ CVD อยู่นั้น มีอิオンที่เกิดจากการ Sputtering จาก คาร์บอนหรือจากไฮโดรเจนเป็นตัวช่วย etching และ stabilized อยู่ตลอดเวลาทำให้ตัวอย่างบางด้วย SM 4 ซึ่งเมื่อนำไปศึกษาการเกิดผลึกพนาการเกิด epitaxy รูปร่างคล้ายรังผึ้งดังรูปที่ 8 และยืนยันการเกิดเพชรด้วยผลของ Laser Raman Spectrograph ดังรูปที่ 11 ซึ่งเป็นการเตรียมเพชรรูปร่างเช่นนี้ได้เป็นครั้งแรก ควรพัฒนาให้มีความสมบูรณ์และมีขนาดใหญ่ขึ้นเพื่อให้สามารถนำไปประยุกต์ใช้ต่อไป

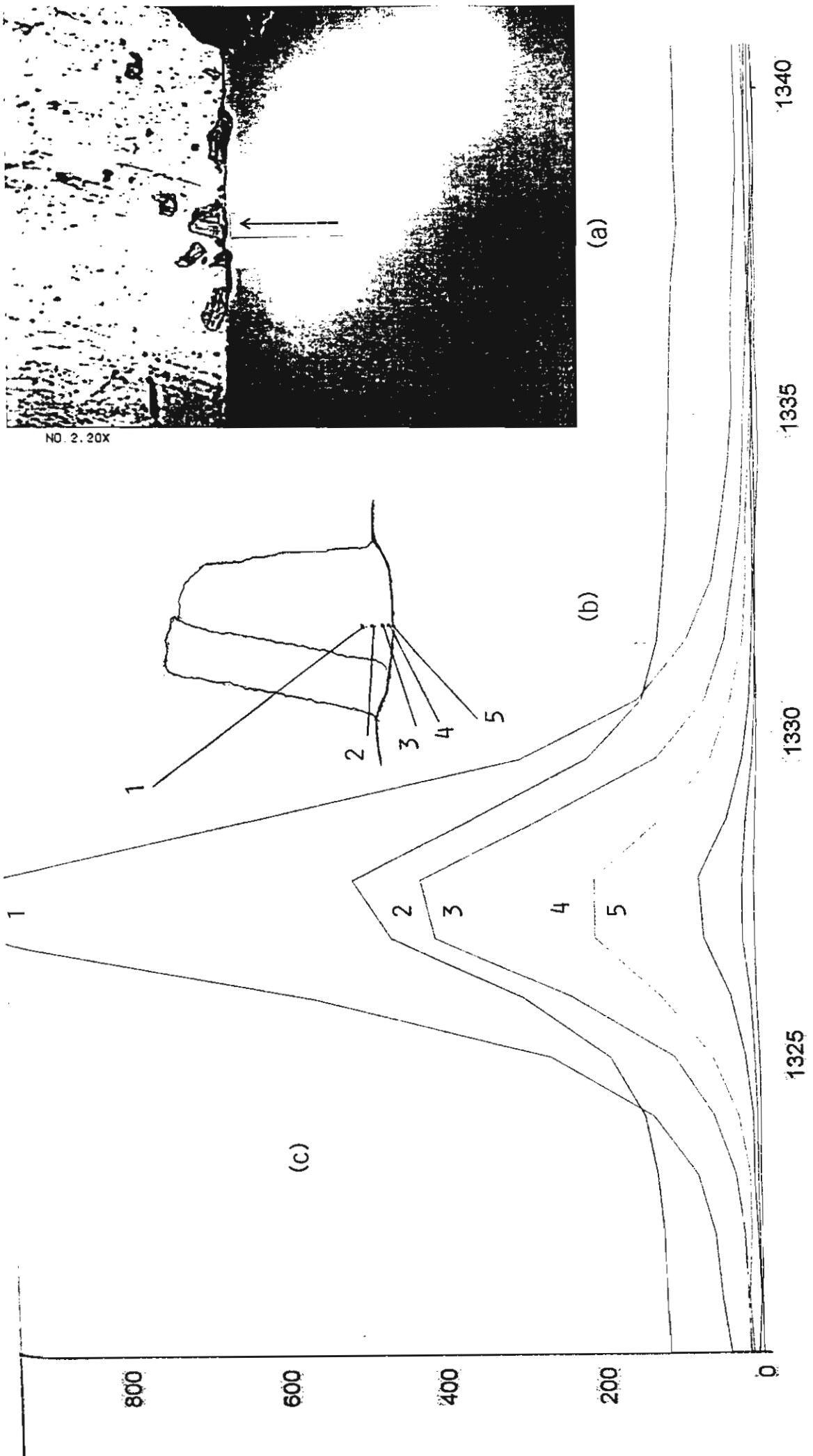
มีตัวอย่างที่น่าสนใจคือ ตัวอย่างเบอร์ SM 13 ซึ่งได้มาจากการเตรียมฟิล์มบางของเพชรด้วยวิธี AC-CVD ที่เงื่อนไขความดัน  $4.7 \times 10^{-1}$  millibar อัตราส่วนของความดันของแก๊ส  $CH_4$  ต่อความดันของแก๊ส  $H_2$  เป็น 21.72 % และที่เงื่อนไขการกัดด้วยอิออนอาร์กอนนาน 30 นาที ก่อนทำ AC-CVD และระยะเวลาการทำ AC-CVD นาน 5 ชั่วโมง มีการติดของฟิล์มบางที่พื้นของแผ่นเพชรอย่างสม่ำเสมอ และมีผลึกเพชรขนาดเล็กมากดังรูปที่ 8(c) จาก FE -SEM กำลังขยาย 50,000 เท่า ยืนยันการเป็นฟิล์มเพชร โดยผล

ของ Laser Raman Spectrograph ดังรูปที่ 12 และที่ขอบด้วยเบอร์ SM 13 ตามรูป 13 (a) แสดงภาพถ่ายที่มีการติดของผลึกที่ขอบของแผ่นเพชรที่รองรับ (diamond substrate) ขึ้นยังการเป็นผลึกเพชร โดยผลของ Laser Raman Spectrographs ในรูปที่ 13 (c) ที่ดำเนิน 1,2,3,4,5..... ของผลึกเพชร



รูปที่ 12 Laser Raman spectrographs ของตัวอย่างเบอร์ SM13 ที่เติมด้วยวิธี AC-CVD ซึ่งมีการติดของฟิล์มน้ำเงินอยู่ส่วนมาก พร้อมภาพจาก FE-SEM กำลังขยาย 50,000 เท่า บริเวณที่ laser beam ตกกระทบ

รูปที่ 13 (a) ภาพถ่ายของตัวอย่างบอร์ SM 13 หลังการเติมพิสัยด้วยวิธี AC-CVD ด้วย optical microscope กำลังขยาย 500 X ของเครื่อง Laser Raman Spectrometer แสดงผลึกเพชรที่ขบวนห่านพาราเซรัม 13 (b) ไดอะแกรมของผลึกหินที่ Laser beam ตกกระทบหลักเพชร ของตัวอย่างบอร์ SM 13 ที่จุด 1,2,3,4,5,.....13 (c) แสดงผลจาก Laser Raman Spectrographs ของตัวอย่างบอร์ SM 13 ที่ laser beam ตกกระทบหลักเพชร ในรูป 13 (a) ที่ตำแหน่ง 1,2,3,4,5,.....13 (c) ตามลำดับในรูป 13 (c)



## บรรณานุกรม

1. Bundy, F.P., H.T. Hall., H.M. Strong, and R.H. Wentorf, Jr., "Man-Made Diamonds", Nature **176**, 51 (1955)
2. Spitsyn, B.V., L.L. Bouilov, and B.V. Derjaguin, Prog. Crystal Growth and Charact. **17** (1988) pp. 79-170
3. Pate,B.B. , Surface Science **165** (1986) pp. 83-142
4. Naoji Fujimori, Takahiro Imai, Hideki Nakahata, Hiromu Shiomi, and Yoshiki Nishibayashi, Material Research Society Symposium Proceeding, Vol. 162, copyright 1990, pp.23-33.
5. Kurt J. Lesker Company Catalog, Vacuum Products,copyright 1996, page 17-46.
6. Vittaya Amornkitbamrung, Stress and Strain in Heteroepitaxial Diamond Thin Film on Si, in : T.S.Sudarshan, K.A.Khor and M.Jeandin, Editors. Surface Modification Technologies X. Published in 1977 by The Institute of Materials, 1, Carton House Terrace, London SW1Y SDB,U.K., Book No. 668: pp.561-569.

## ภาคผนวก

# **SURFACE MODIFICATION TECHNOLOGIES**

## **X**

Proceedings of the Tenth International Conference on  
Surface Modification Technologies  
held in Singapore  
September 2-4, 1996

*Editors (Proceedings)*

**T. S. Sudarshan**

Materials Modification Inc.  
2929-P1, Eskridge Road  
Fairfax, VA 22031, U.S.A.

**K. A. Khor**

School of Mechanical & Production Engineering  
Nanyang Technological University  
Singapore 639798

**M. Jeandin**

Ecole des Mines de Paris  
Centre des Matériaux P.M. FOURT  
B.P. 87, 91003 Evry Cedex, France



**The Institute of Materials**  
London

**Book No. 668**

Published in 1997 by  
**The Institute of Materials**  
1, Carlton House Terrace  
London SW1Y 5DB, U.K.

© The Institute of Materials 1997

ISBN 1-86125-022-3

*Also available from The Institute of Materials*

Surface Modification Technologies V  
Surface Modification Technologies VII  
Surface Modification Technologies VIII  
Surface Modification Technologies IX

Typeset, printed and bound in India by  
Emptek Inc., 70 Littles Road, Scarborough, Ontario M1B 5E2, Canada

# **Stress and Strain in Heteroepitaxial Diamond Thin Film on Si (100)**

**Vittaya Amornkitbamrung**

Department of Physics

Faculty of Science

Khon Kaen University

Khon Kaen 40002, Thailand

## **Abstract**

Diamond thin film was deposited on the silicon (100) face substrates using hot tungsten filament decomposed methane gas in a high vacuum chamber. The deposition conditions were  $10^{-3}$ ,  $10^{-2}$ , and  $10^{-1}$  millibar pressures and 49, 13, and 3 hours deposition times respectively. The thin films were analysed by a parallel beam x-ray diffractometer. The diffracting planes of diamond thin films were (111), (220),(222) and (400). The (111), (220) planes were diffracted at a Bragg angle higher than the standard values, but the (400) plane was a good match to the standard. These results indicate that there is crystal structure distortion in the directions which are parallel to the (100) plane of the silicon substrate due to lattice mismatch between diamond and silicon. The thickest diamond sample was around 225 Å calculated from peak broadening of the diamond x-ray diffraction peaks (111), (220), (400). The compressive stress was about 3100 GPa calculating from peak shift plot of silicon x-ray diffraction peak (311). The x-ray diffraction topographic technique simplified from Berg-Barret technique showed the stress distribution over the sample from silicon diffraction plane (311). The lower diamond thin film thickness sample was analysed by x-ray photoelectron spectroscopy (XPS).It was found that the thickness was about 50 Å. The XPS results showed SiC and SiO<sub>2</sub> peaks from the interface region. Most samples were investigated by ultraviolet-visible spectrophotometer (1100-200 nm ) using reflectance which showed the absorption edges at approximately 220 nm correspond to the 5.4 eV energy gap of diamond.

## 1.0 Introduction

Diamond thin films and diamond-like carbon (DLC) thin films which have perfect crystal structure and appropriate size are most desirable in numerous applications. Epitaxial layers of diamond thin films and DLC thin films are most desired in electronic and optical application.

Good epitaxial preparation is dependent on the properties of substrates i.e. lattice matching, crystal perfection, surface treatment etc. The most suitable substrate (for lattice matching) for diamond thin film deposition is diamond, but in using diamond substrate there are a few serious problems i.e. crystal perfection and surface treatment. Suitable diamond size, 5x5x0.3 mm is quite expensive. The substrate material which has high crystal perfection, well-known surface treatment and proper size is silicon. Therefore, heteroepitaxial diamond thin films on silicon substrates are very interesting and popular for diamond and DLC research. Most techniques for surface treatment or cleaning silicon substrates involve diamond powder scratching or ultrasonic cleaning with diamond-powder suspended in organic compound solvent such as acetone or methanol. These treatments have been believed to enhance nucleation density during diamond deposition. Therefore, most results are in polycrystalline diamond form, highly oriented crystallites of diamond, local heteroepitaxial film because of surface damage from mechanical surface treatment. These results are one-dimensional heteroepitaxial, it is non two-dimensional heteroepitaxial; layer by layer deposition. If they are two-dimensional heteroepitaxial, we should detect stress and strain in the diamond thin film, interface layer and substrate because of high lattice mismatch between diamond ( $a = 3.5667 \text{ \AA}$ ) and silicon ( $a = 5.4309 \text{ \AA}$ ). If  $\delta$  is the parameter which indicates the order of lattice mismatch.<sup>1</sup>

$$\delta = [(a_{\text{epitaxial layer}} - a_{\text{substrate}}) / a_{\text{substrate}}] \times 100\%$$

In the tensile stress case, the substrate creates tensile stresses in the epitaxial layer, given  $\delta = \delta_t$  i.e.  $\delta$  is negative. In the case of diamond on silicon,  $\delta_t$  can be shown to be:

$$\delta_t = [(3.5667 - 5.4309) / 5.4309] \times 100\% = -34\%$$

In the compressive stress case, the substrate compresses the epitaxial layer, given  $\delta = \delta_c$  i.e.  $\delta$  is positive. In the case of diamond on silicon it may be two unit cells of diamond are compressed into one unit cell of silicon,  $\delta_c$  can be shown to be:

$$\delta_c = [2(3.5667) - 5.4309] / 5.4309 \times 100\% = 31\%$$

It is clear that  $(\delta_t) > (\delta_c)$ , therefore the heteroepitaxial diamond thin film should induce compressive stress rather than tensile stress.

In this paper, we present the preparation of diamond thin film on Si (100) by hot tungsten filament chemical vapour deposition, the highest thickness thin film sample was characterized using x-ray diffraction and Berg - Barrett x-ray diffraction

topography.<sup>2</sup> The stress and strain were investigated by peak shift and peak broadening plots.<sup>3</sup> The lower thickness thin film sample was analysed by x-ray photoelectron spectroscopy (XPS). Most of all samples were investigated by ultraviolet-visible spectrophotometry.

## 2.0 Experimental Procedures

The Si (100) wafer size 4 inches in diameter 0.45 mm in thickness was sectioned into specimens 15x10 mm and cleaned with acetone and methanol in an ultrasonic cleaner for 1 hour in each solvent, rinsed with deionized water, and dried with dry nitrogen. The clean Si substrate was etched by lactic acid:  $\text{HNO}_3 : \text{HF} = 25:4:1$  by volume for 10 minutes and rinsed with deionized water until neutralized, then dried with dry nitrogen. The Si substrate was put into a vacuum chamber evacuated to  $10^{-7}$  millibar by combined titanium sublimation and turbomolecular pump, and the substrate "in situ" thermally cleaned by hot tungsten filament. The diamond thin film deposition was performed by decomposition of methane gas, purity 99.9%. During deposition, the pressure was maintained in the ranges of  $10^{-3}$ ,  $10^{-2}$ , and  $10^{-1}$  millibar, for 49, 13, and 3 hour deposition times, respectively.

The thin film was analysed by a parallel beam x-ray diffractometer, using power 40 kV, 35 mA from Cu anode x-ray tube, with divergence slit width  $1^\circ$ . The sample was set in the orientation for the (001) plane of the silicon plate. The result is shown in Figure 1(a and b), for the 49 hours deposited on the time sample. But in the lower deposited time samples we used x-ray photoelectron spectroscopy (XPS) to analyse surface and interface compositions. We used ultraviolet-visible (UV-VIS) spectrophotometry to investigate the reflectivity of thin films.

Stress and strain were investigated from silicon diffraction peak (311) using incident x-ray beam at the fixed angles between  $2.00^\circ - 2.45^\circ$  by increment  $0.05^\circ$  in each step. The results are shown in Figure 2. At the same time we took x-ray diffraction topographs in some incident x-ray beam fixed angle at  $\psi = 2.40^\circ$ , took topograph at the  $2\theta = 55.830^\circ$ , exposure time 45 minutes use Kodak dental x-ray film. The result is shown in Figure 3. This x-ray diffraction topographic technique is based on the Berg-Barret technique.

## 3.0 Results

In Figure 1(a), we can identify the diffraction peaks of the thin film as (111),(220),(222) and (400) of diamond. Consider the equation for strain analysis by peak broadening.<sup>3</sup>

$$\cos\theta \Delta(2\theta) = (0.9 \lambda / h) + 2(\Delta d / d_0) \sin\theta$$

where  $\theta$  = Bragg angle,  $\Delta(2\theta)$  = peak width (FWHM) in radian,  $\lambda$  = wavelength of x-rays =  $1.5406 \text{ \AA}^\circ$  ( $\text{CuK}_{\alpha 1}$ ),  $h$  = thin film thickness,  $\Delta d$  = d-spacing difference

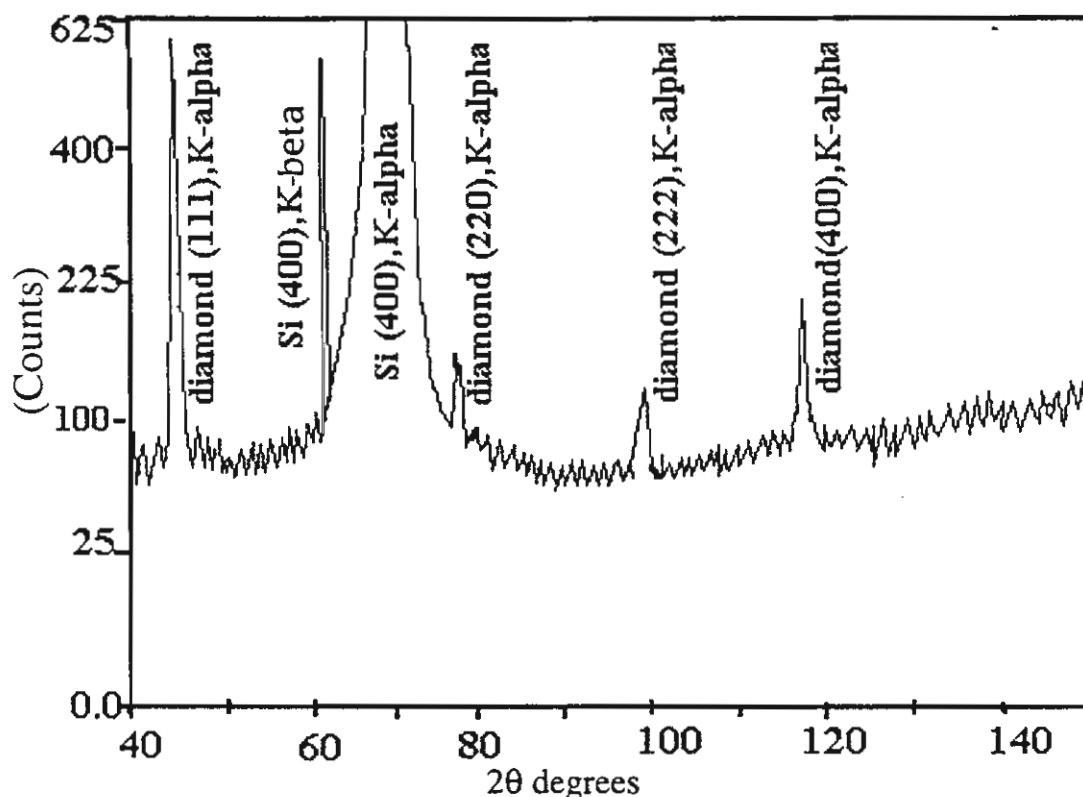


Figure 1a: X-ray diffractogram of diamond heteroepitaxial thin film on Si (100) with the x-ray beam incident on the entire sample 15x10 mm.

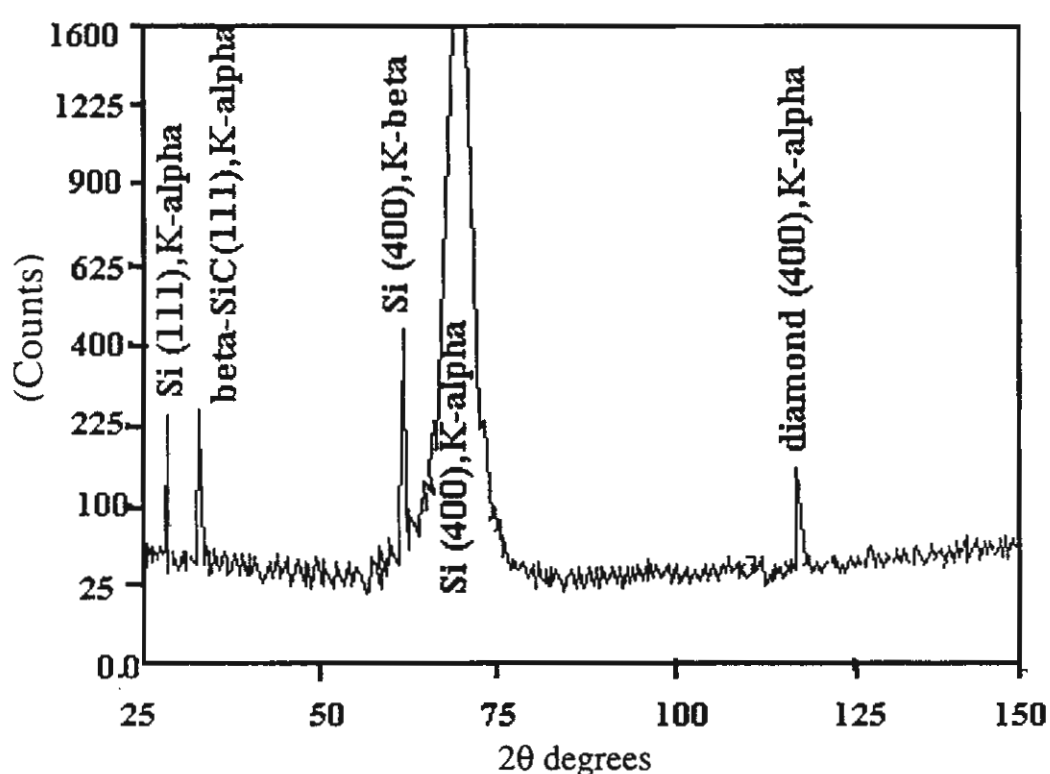


Figure 1b: X-ray diffractogram from the same sample used in Figure 1(a) but with the x-ray beam incident on the central of the sample 5 x 5 mm.

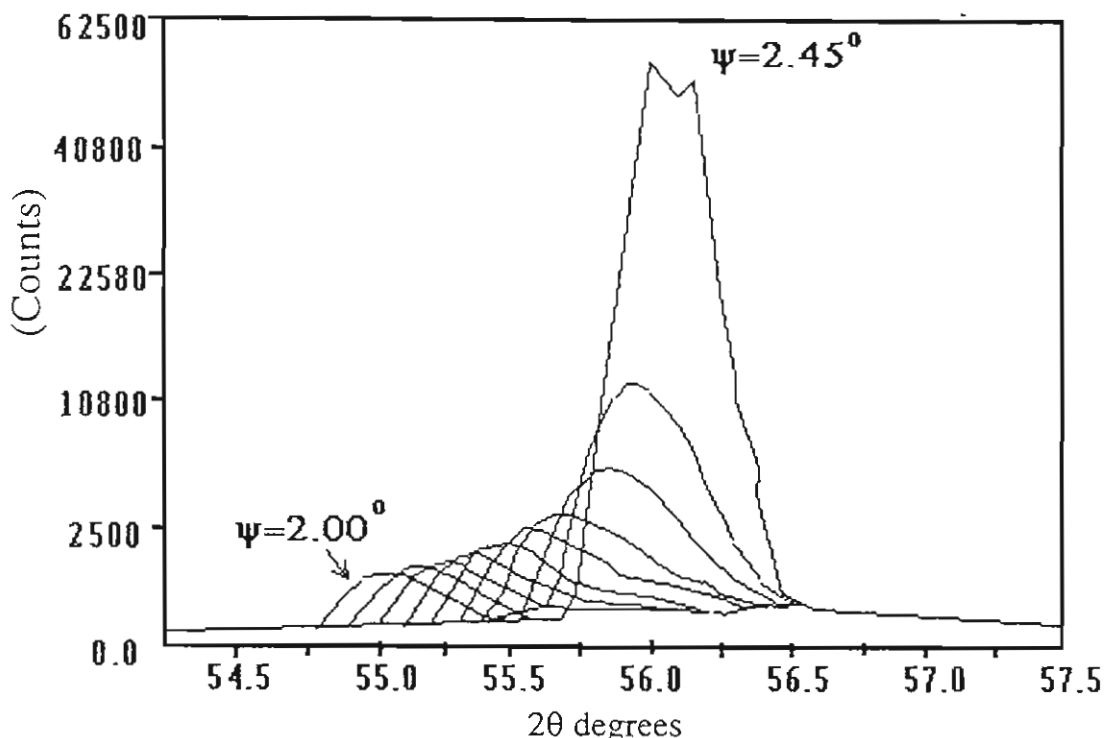


Figure 2: (311) Si peaks at different incident beam angle between  $2.00^\circ - 2.45^\circ$  with  $\Delta\psi$  equal to  $0.05^\circ$ .

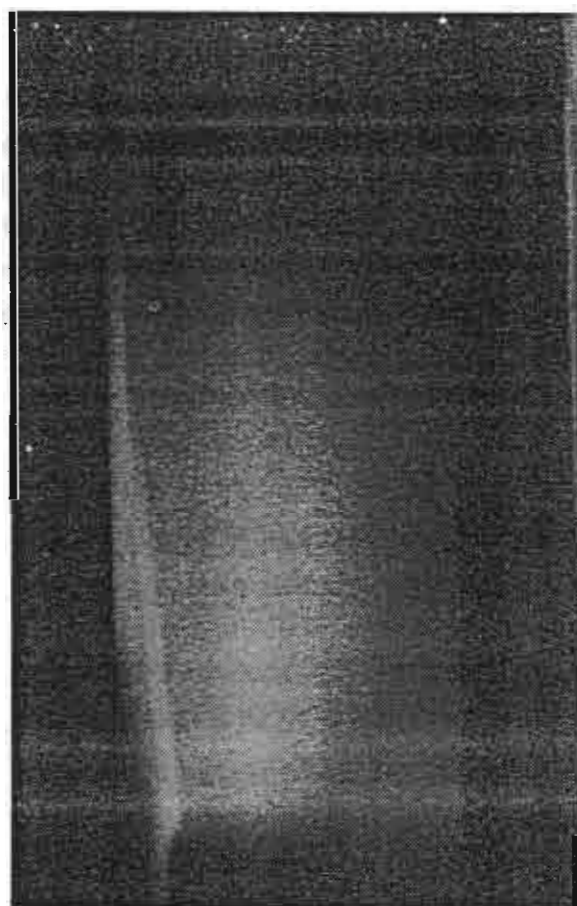


Figure 3: X-ray diffraction topograph at the incident x-ray beam,  $\psi = 2.40^\circ$ , taken at  $2\theta = 55.830^\circ$ , and 45 minutes exposure time.

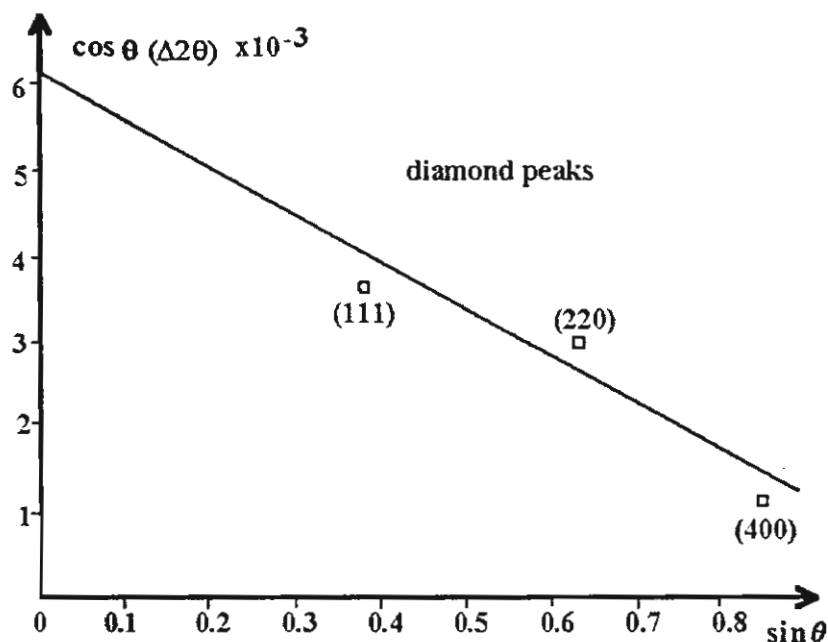


Figure 4: Peak broadening plot of the diamond peaks (111), (220) and (400) from the x-ray diffractogram in Figure 1a.

between measurement and ASTM-standard =  $d - d_o$ ,  $d_o$  = standard d-spacing. If we plot  $\cos \theta \Delta (2\theta)$  vs.  $\sin \theta$  of peaks (111), (220) and (400), excluding peak (222) because it is the second order of (111) diffraction peak, we obtain a straight line as shown in Figure 4. The graph has negative slope, which means there is compressive stress in the diamond thin film and graph intersect the ordinate axis at  $6.13 \times 10^{-3}$  which is equal  $(0.9 \lambda/h)$  corresponding to a film thickness around 225 Å. Considering Figure 2, we can analyse that there is stress due to the observed peak shift, by considering the equation which governs stress and strain by peak shift plot<sup>3</sup> as

$$\frac{d_\psi - d_o}{d_o} = \frac{1+v}{E} \sigma \sin^2 \psi$$

where  $\psi$  = incident x-ray beam angle with respect to the sample surface,  $d_\psi$  = d-spacing calculated from the peak which corresponds to the incident x-ray beam angle with respect to sample surface,  $v$  = Poisson's ratio = 0.28 for silicon,<sup>4</sup>  $E$  = Young's modulus =  $16.7 \times 10^{10}$  Pa for silicon.<sup>5</sup> By plotting the graph using the relation between  $(d_\psi - d_o) / d_o$  and  $\sin^2 \psi$  as shown in Figure 5, we obtain a slope of -23.8 which is equal to

$$\frac{1+v}{E} \sigma$$

By substituting  $v$  and  $E$  for silicon we obtain a stress,  $\sigma$ , equal to -3100 GPa, the minus sign indicates compressive stress which corresponds to about  $3 \times 10^7$  atm.

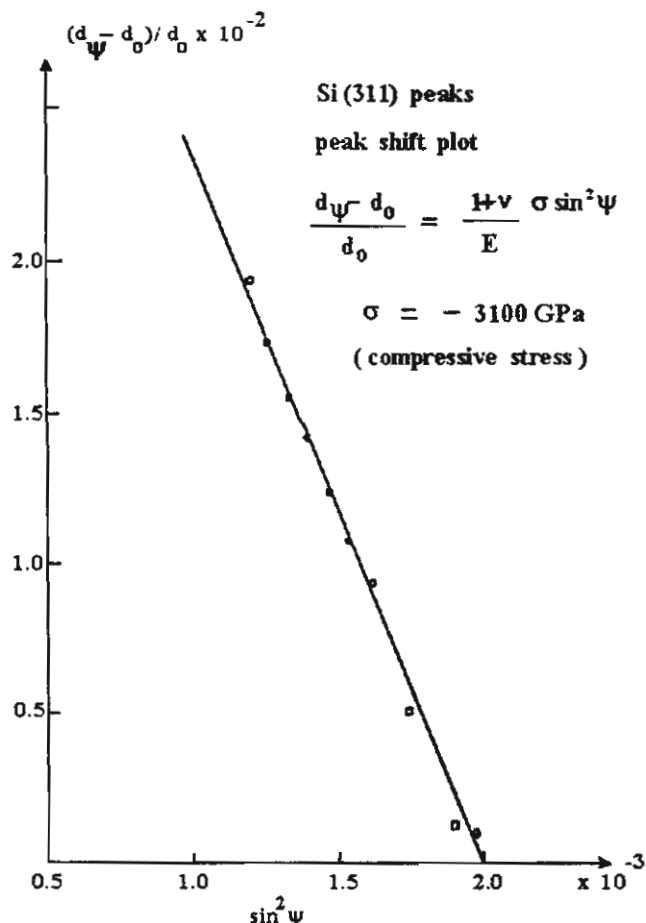


Figure 5: Peak shift plot of the peaks (311) Si at incident beam angles between  $2.00^\circ - 2.45^\circ$  with  $\Delta\psi$  equal to  $0.05^\circ$  as shown in figure 2.

Figure 3 shows the distribution of stress which is high in the centre of the sample and gradually decreases toward the rim.

The x-ray diffractograms from Figure 1(a-b) were analysed by calculating d-spacings and indexing as shown in Table 1 and Table 2 respectively.

The XPS results showed the SiC (283.4 eV) and SiO<sub>2</sub> (103.5 eV) peaks from the interface region. This position SiC (283.4 eV) peak had been shown to indicate the  $\beta$  - SiC phase by RHEED.<sup>6</sup> The UV-VIS results showed that absorption edges nearly 220 nm correspond to 5.4 eV energy gap of diamond.

#### 4.0 Discussion and Conclusions

In the homogeneous area we proved that a  $\beta$  - SiC interface layer is necessary to get high quality diamond heteroepitaxial thin films on Si(100) wafers. The stress observed from the (311) Si diffracted peak shift plot is about 30 million times atmospheric pressure which stabilizes the diamond film because that is the stable range for the diamond phase of carbon in the pressure temperature phase diagram.

**Table 1.** X-ray Beam Incident on Entire Sample, d-Spacings, ASTM Standard Values, Observed Values and Difference Values (Observed - Standard)

Material (hkl)	ASTM Standard A°	Observed Values A°	Observed -ASTM A°
Diamond (111), K <sub>α</sub>	2.060	2.0116	-0.0484
Silicon (400), K <sub>β</sub>	1.357	1.3483	-0.0084
Silicon (400), K <sub>α</sub>	1.357	1.3517	-0.0053
Diamond (220), K <sub>α</sub>	1.261	1.2165	-0.045
Diamond (222), K <sub>α</sub>	1.030	1.0109	-0.0191
Diamond (400), K <sub>α</sub>	0.8916	0.9034	+0.0118

**Table 2.** X-ray Beam Incident on Center of Sample 5x5 mm, d-Spacing Values in the Same Sample and the Same Meaning as in Table 1

Material (hkl)	ASTM Standard A°	Observed Values A°	Observed -ASTM A°
Si (111)	3.138	3.0361	-0.1019
β-SiC (111)	2.510	2.6845	+0.1745
Diamond (111)	2.060	2.0076	-0.0524
Si (400)	1.357	1.3484	-0.0086
Diamond (400)	0.8916	0.9030	+0.0114

## 5.0 Acknowledgment

This research was funded by the Thailand Research Fund (TRF) under Contract No. RSA/20/2537.

## 6.0 References

1. M. ILEGEMS: 'Properties of III-V Layers,' *The Technology and Physics of Molecular Beam Epitaxy*, E.H.C. Parker, ed., Plenum Publishing Corporation, 1985, 83-142.
2. BD CULLITY: *Elements of X-Ray Diffraction*, 2nd ed., Addison-Wesley, Reading, MA, 1978, 102.